

# Modélisation Biomécanique

Introduction

Franck Multon [franck.multon@inria.fr](mailto:franck.multon@inria.fr)

Charles Pontonnier [charles.pontonier@ens-rennes.fr](mailto:charles.pontonier@ens-rennes.fr)



# Objectifs et contenus du cours

## **Objectifs**

Maîtriser les principaux concepts de modélisation biomécanique

Définir des besoins en terme de modélisation biomécanique

Définition des principaux termes en analyse de mouvement

Modéliser un système biomécanique rigide en translation et en rotation

## **Contenus**

Introduction générale sur la modélisation biomécanique et adaptations du niveau de modélisation en rapport avec l'objectif visé

Principes généraux de mécanique du solide rigide

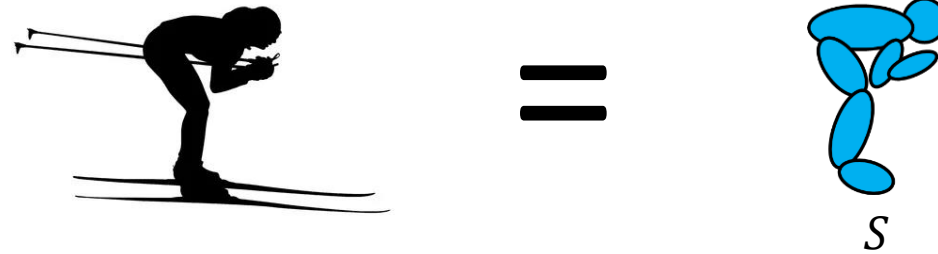
Principes de mécanisme (degrés de liberté, mobilité, contraintes, paramétrage, repérage)

Equations de Newton-Euler avec résolution analytique puis numérique en 2D

Ouverture vers le mouvement 3D et lien avec l'approche expérimentale

# (bio)mécanique du solide

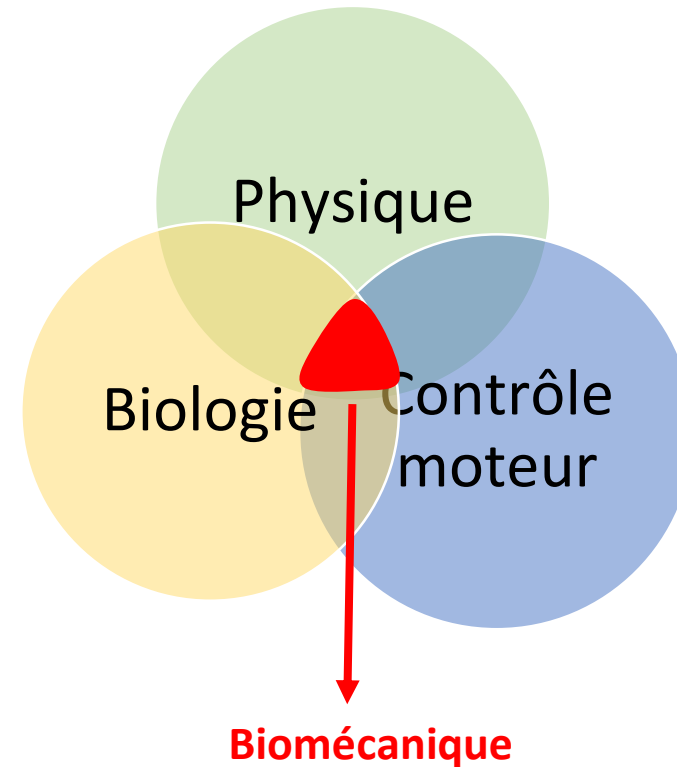
Introduction



# Biomécanique : définition

Etude des forces et du mouvement des organismes vivants et de leurs composantes

- **Biomécanique à l'échelle microscopique**
  - Protéines (e.g. collagène)
  - Filaments d'ADN
  - Cellules musculaires
- **Biomécanique à l'échelle macroscopique**
  - Tissus biologiques (os, muscles, tendon, etc)
  - Segments corporels
  - Corps complet
  - Aérodynamique & hydrodynamique



A chaque échelle correspond un type de modélisation

# Biomécanique : applications principales

- **Biomécanique du sport**

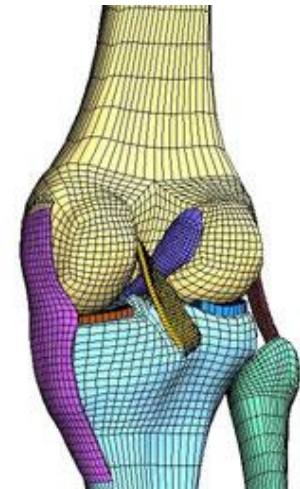
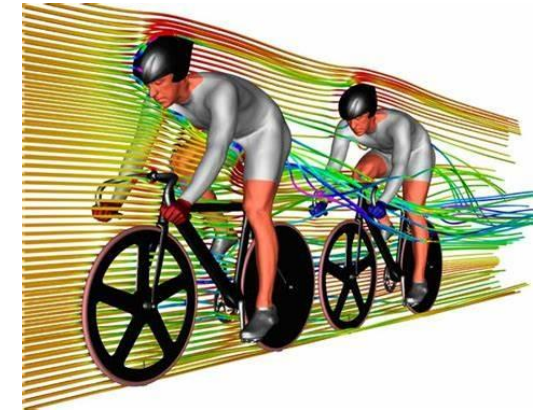
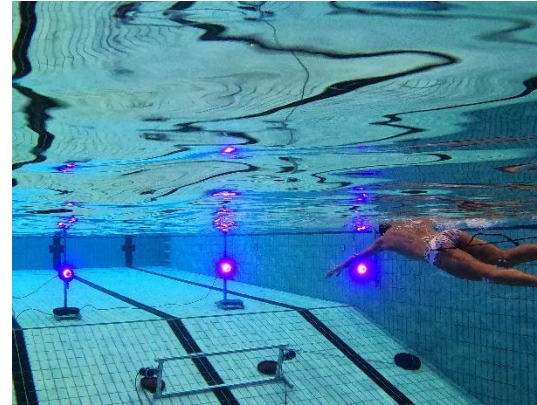
- Optimisation de la performance
- Prévention des blessures et diagnostic

- **Clinique et ingénierie biomédicale**

- Ingénierie tissulaire
- Ingénierie et chirurgie orthopédique
- Rééducation
- Compréhension de pathologies

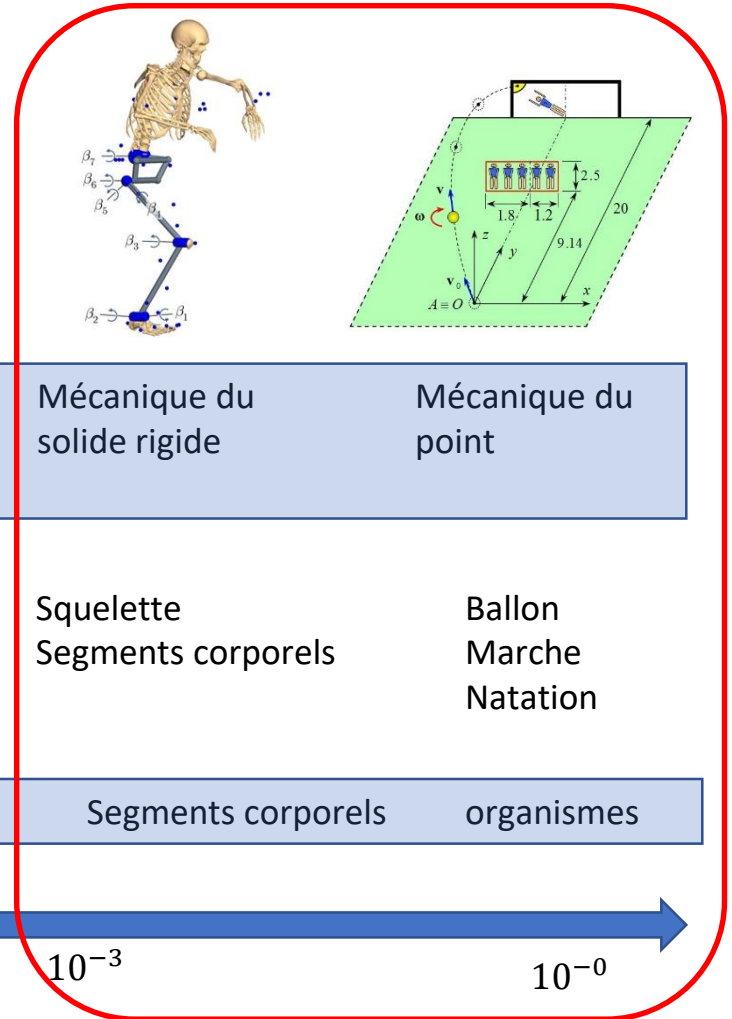
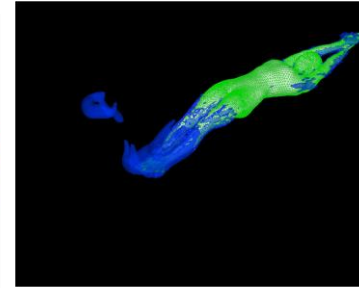
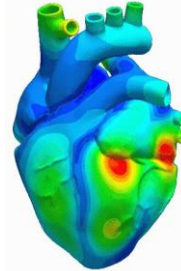
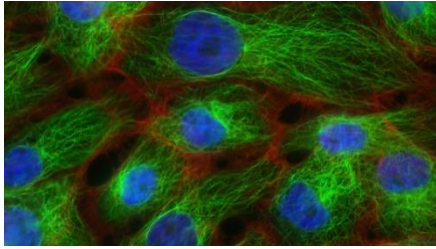
- **Ergonomie**

- Ingénierie tissulaire
- Ingénierie et chirurgie orthopédique



Partie intégrante des sciences du sport et de la médecine

# La modélisation mécanique selon les échelles



Mécanique  
quantique

Mécanique  
moléculaire

Mécanique  
brownienne et  
réseaux

Mécanique des  
milieux continus

Mécanique du  
solide rigide

Mécanique du  
point

Mécanotransduction

Biologie moléculaire

Filaments

Os  
Tissus mous  
Fluides biologiques

Squelette  
Segments corporels

Ballon  
Marche  
Natation

Atomes

Protéines

cytosquelette

cellules

organes

Segments corporels

organismes

$10^{-10}$

$10^{-9}$

$10^{-6}$

$10^{-3}$

$10^{-0}$

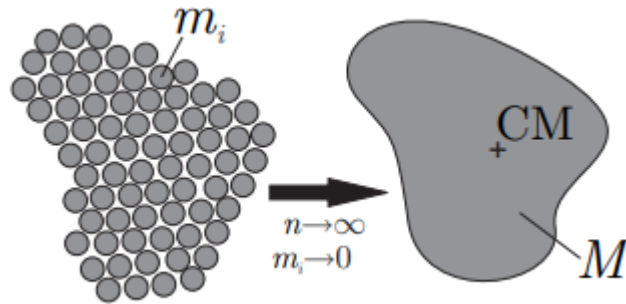
# Les différents niveaux de modélisation mécanique

## Mécanique des solides indéformables

- étude des relations forces-déplacements
- Suppose que les distances entre chaque point du solide sont constantes

## Mécanique des milieux continus (MMC)

- étude des relations contraintes-déformations (comportements du matériau)
- suppose que le milieu est continu, i.e. on néglige l'aspect discret de la matière (ex : atomes)



### Milieu discret

$n$  Points matériels

$m_i$  Masses ponctuelles

### Milieu continu

$n \rightarrow \infty$

$m_i \rightarrow 0$

### Solide rigide

$n \rightarrow \infty$

$m_i \rightarrow 0$

Distance fixe entre les points

### Point matériel

1 seul point (ex : CM)

Masse  $m = \sum_{i=1}^n m_i$

# Analyse de mouvement : quantités d'intérêt

☐ De nombreuses **quantités accessibles à la mesure** / données externes

- Les choses que l'on peut mesurer :
    - Position/orientations segmentaires (e.g. Capture de mouvement) }
    - Forces externes (e.g. plateforme de force) }
    - Couples/moments mono- articulaires (e.g. ergomètre isocinétique) }
    - Activations des muscles superficiels (e.g. EMG) }
- Cinématique  
Dynamique  
Electrique

→ D'autres **quantités fondamentales inaccessibles à la mesure** / données internes

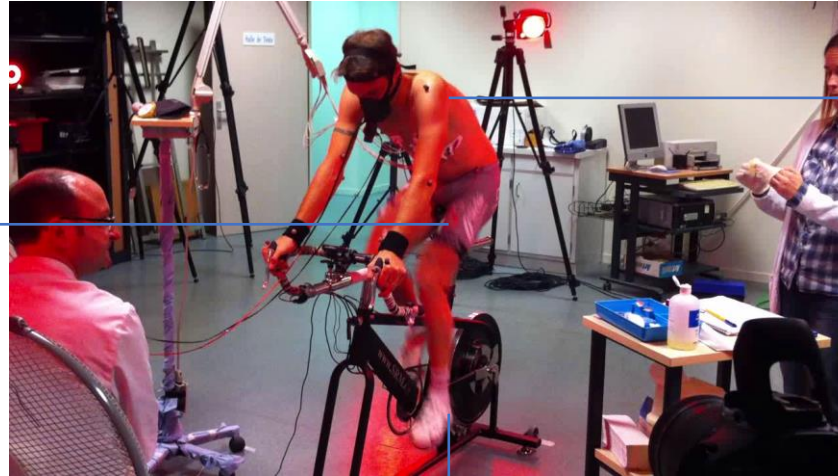
- Angles articulaires 3D
- Efforts inter-segmentaires (Couples et forces articulaires)
- Forces musculo-tendineuses
- Activité des muscles profonds

L'analyse de mouvement nécessite l'utilisation de **modèles biomécaniques couplés à des données expérimentales**

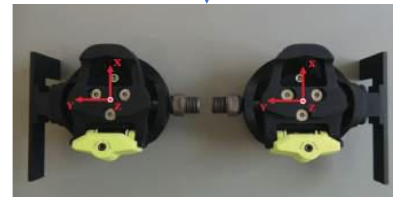


# Variables biomécaniques accessibles à la mesure

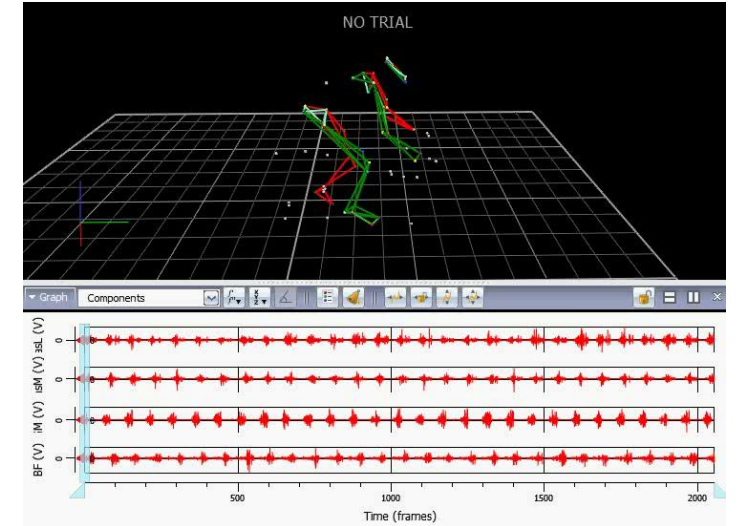
En situation d'exercice



Activité électrique  
musculaire



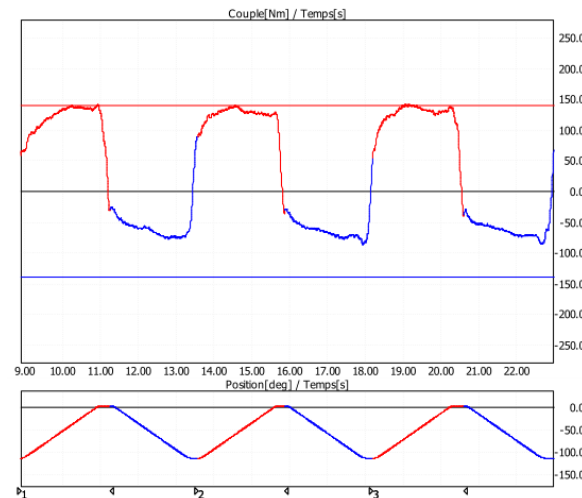
Forces externes (contact)



Position de points anatomiques

# Variables biomécaniques accessibles à la mesure

Hors contexte d'exercice



Poids du sportif ? gravité

Couples/moments de forces articulaires ? **Analyse de la résultante** de la contraction musculaire « globale » au niveau du système musculosquelettique ou du système ostéo-articulaire

# Variables biomécaniques inaccessibles à la mesure : intérêt de la modélisation

## Données expérimentales



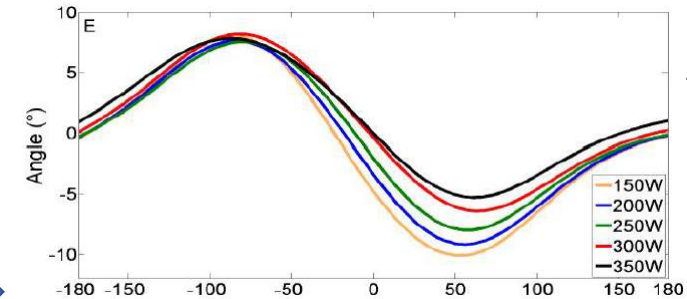
Données externes mesurables

## Modèle biomécanique

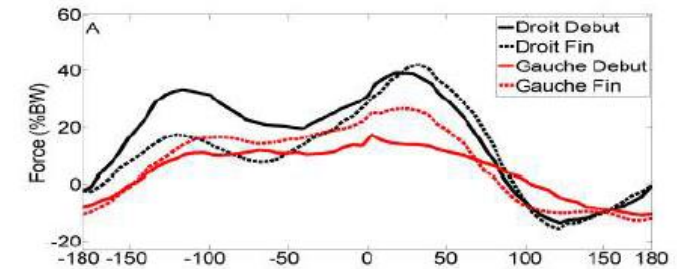


Modèle cinématique  
Modèle musculaire  
Equations du mouvement  
Contraintes  
Résolution numérique

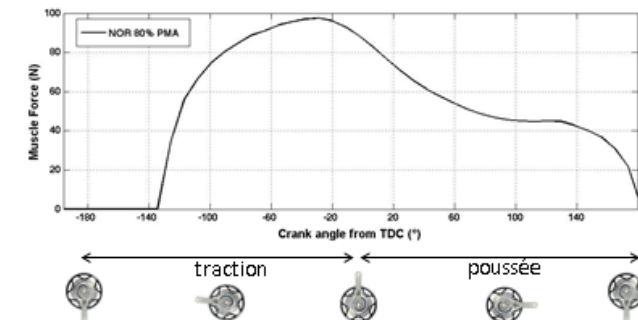
## Analyses



Angles articulaires



Efforts articulaires  
(forces/moments)



Forces  
musculaires

# Quelques journaux d'intérêt en biomécanique du sport

Applied Ergonomics  
British Journal of Sports Medicine  
Computer Methods in Biomechanics and Biomedical Engineering  
Ergonomics  
European Journal of Sports Science  
Human Movement Science  
International journal of Sports Medicine  
Journal of Applied Biomechanics



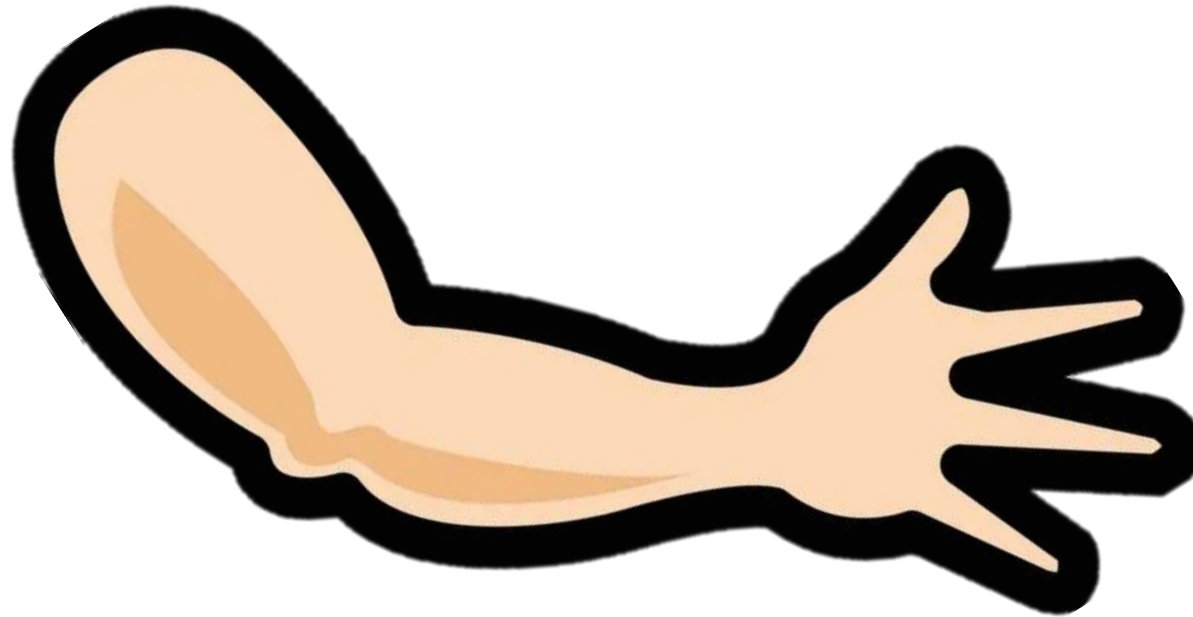
Journal of Biomechanical Engineering  
Journal of Biomechanics  
Journal of Biomedical Engineering  
Journal of Medicine Science Sports & Exercise  
Journal of Sports Sciences  
PlosOne  
Scandinavian Journal of Sports Science  
Sensors  
Sports Biomechanics  
Sports Engineering  
...

Franck Multon [franck.multon@inria.fr](mailto:franck.multon@inria.fr)

Charles Pontonnier [charles.pontonier@ens-rennes.fr](mailto:charles.pontonier@ens-rennes.fr)

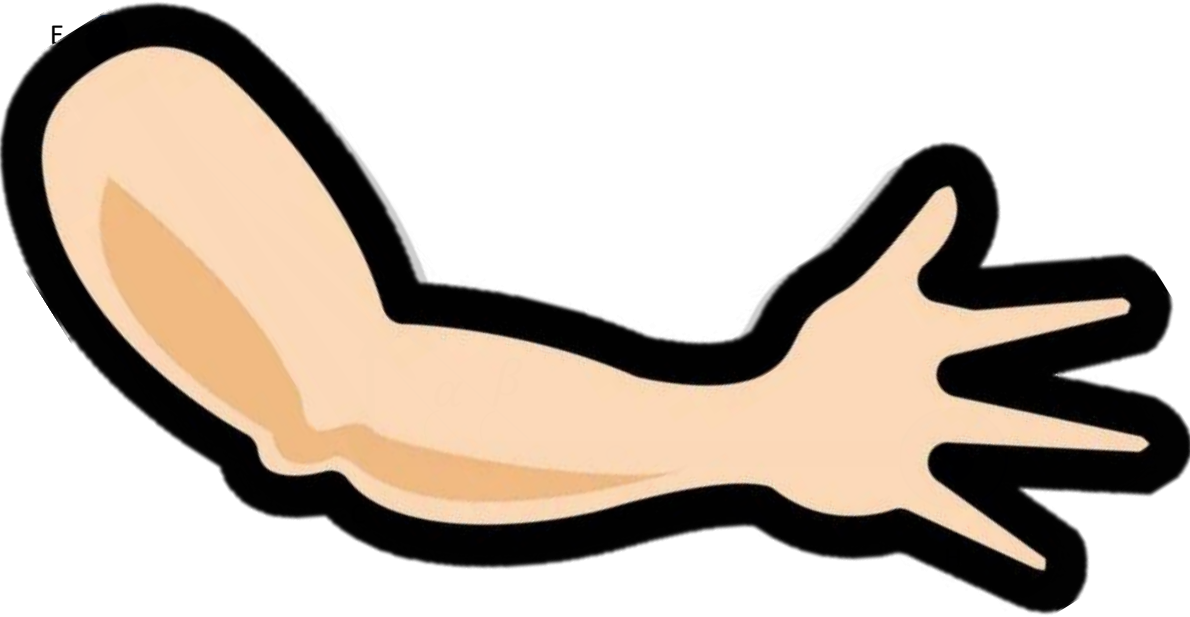
# Modélisation biomécanique

Hypothèses, démarche, conventions



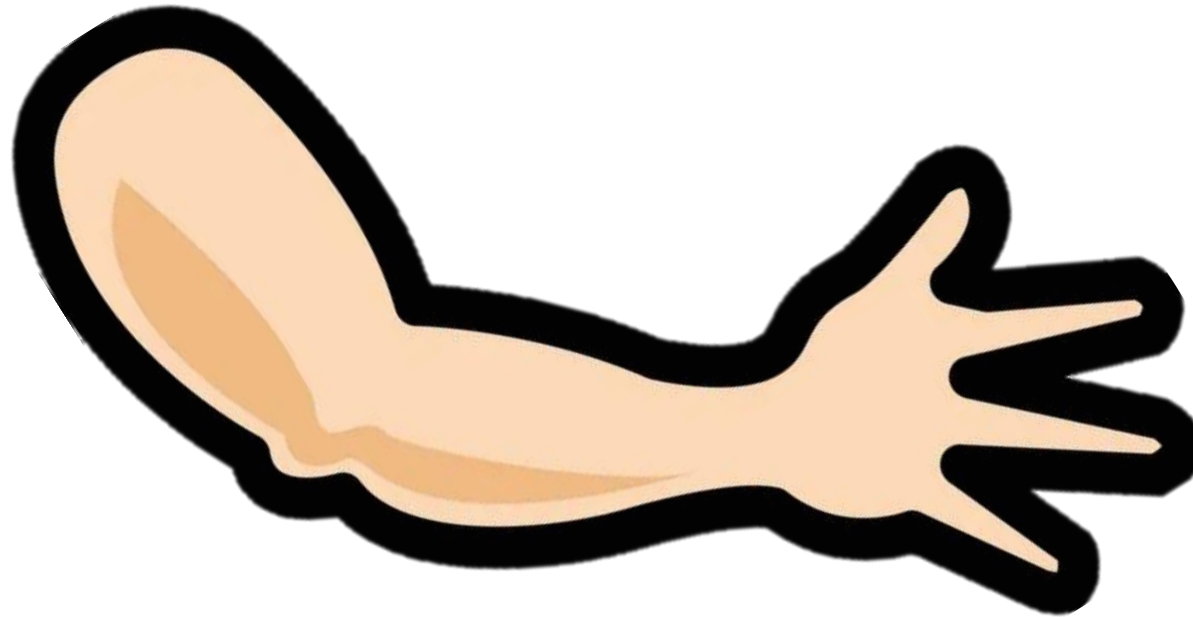


# Modélisation biomécanique



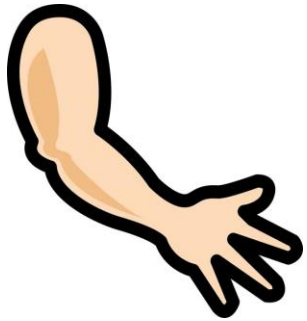
Quelle hypothèses ?  
Quelle démarche ?  
Quelles conventions ?

Quelles hypothèses ?

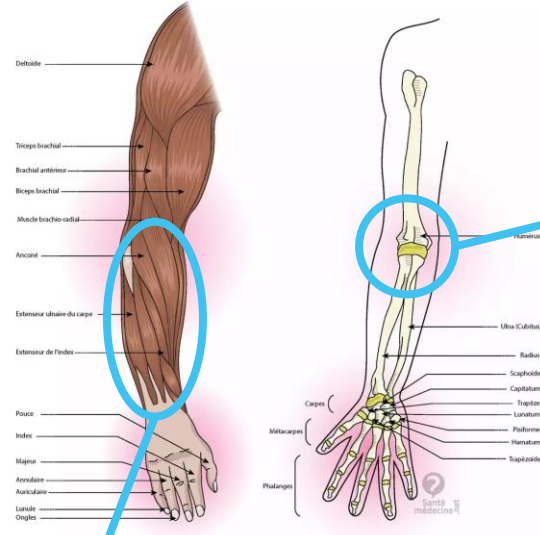


# A partir de l'anatomie

Un bras



Une structure tissulaire et ostéo-articulaire



Notion d'articulation (liaison mécanique)

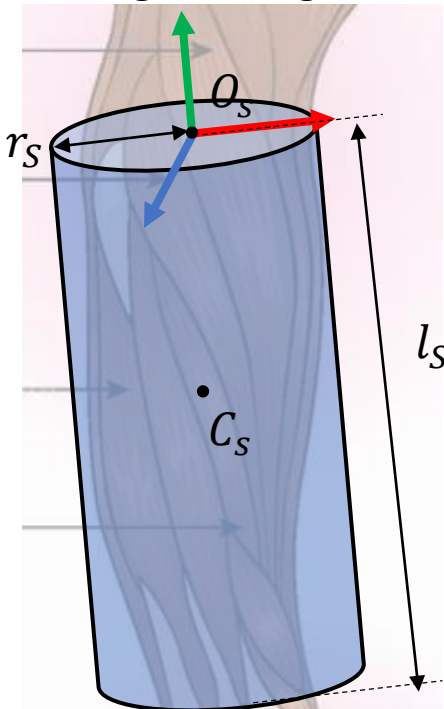
Notion de segment (solide rigide)



# Segment

**Solide rigide** (indéformable) défini par une géométrie, un ou plusieurs repères et des **propriétés inertielles** (masse, centre de masse, inertie)

Un Segment rigide et des articulations mécaniques parfaites ...



**Repère associé**  $R_S(O_S, \vec{x}_S, \vec{y}_S, \vec{z}_S)$

**Paramètres géométriques** → repérage du segment dans l'espace (position/orientation) et ses caractéristiques (longueur, forme...)

Repérage dans le repère global (**angles segmentaires**)

Repérage dans les repères locaux → relations entre segments (**angles inter-segmentaires**)

Proche de la notion intuitive d'angles aux articulations

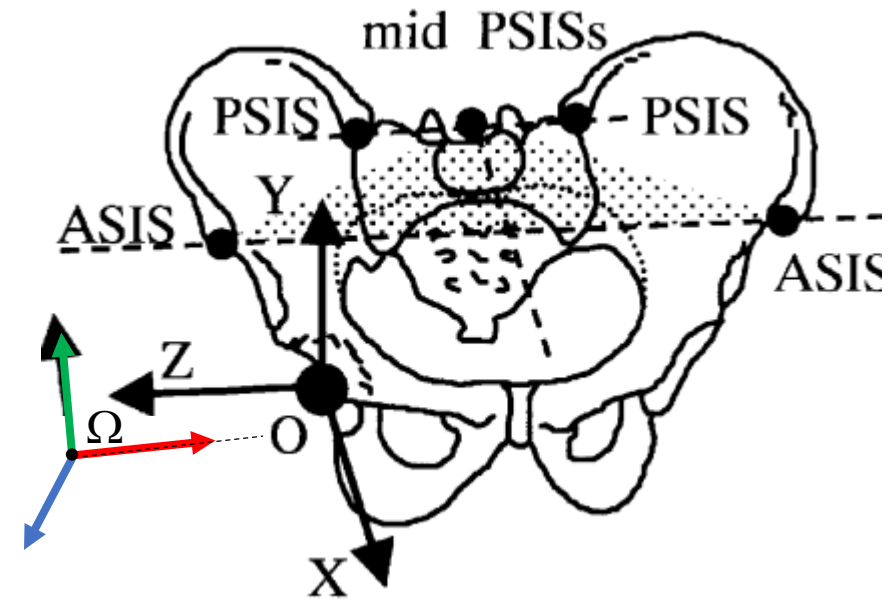
# Définition du repère local au segment

- Construit à partir de repères anatomiques définissant les axes principaux de rotation
  - $Z = rASIS - lASIS$
  - $Y = Z \times (0.5 * (lASIS + rASIS) - 0.5 * (lPSIS + rPSIS))$
  - $X = Y \times Z$
- Repère orthonormé : normalisation X, Y, Z

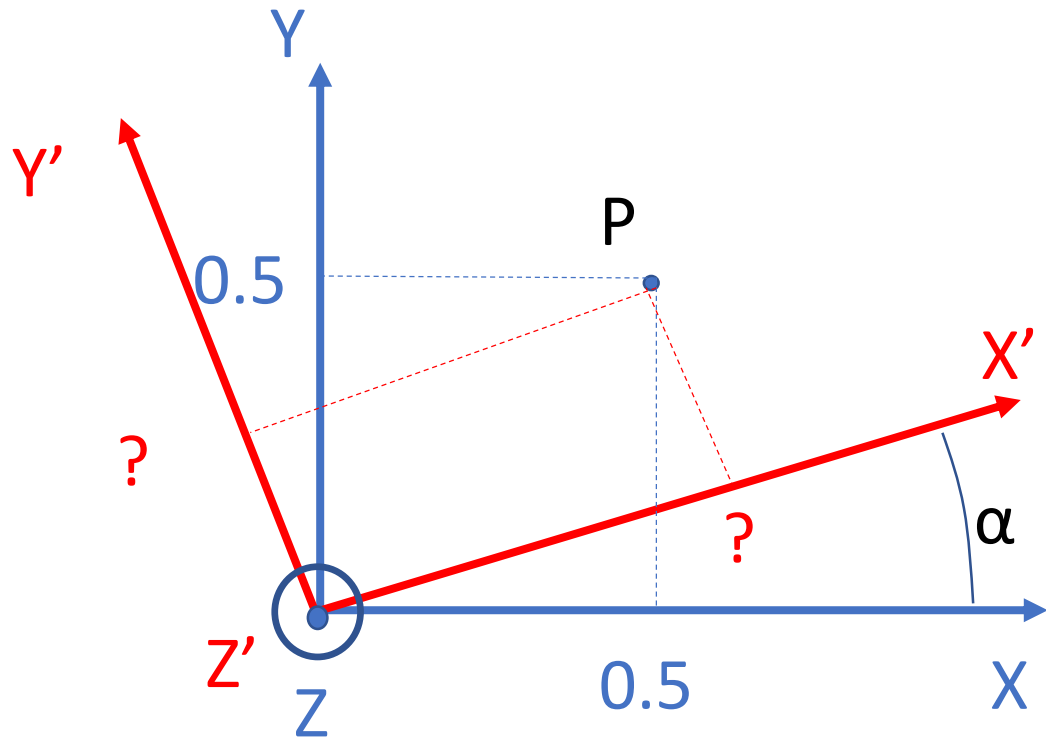
$$M_{S \rightarrow \Omega} = (X \quad Y \quad Z)$$

$$\Rightarrow M_{S \rightarrow \Omega} * V_S = V_\Omega$$

$$\Rightarrow M_{S \rightarrow \Omega}^{-1} * V_\Omega = V_S$$



# Application numérique à un cas simple



$$X'_{R'} = \begin{pmatrix} 1 \\ 0 \\ 0 \end{pmatrix}; X'_R = \begin{pmatrix} \cos(\alpha) \\ \sin(\alpha) \\ 0 \end{pmatrix}$$

$$Y'_{R'} = \begin{pmatrix} 0 \\ 1 \\ 0 \end{pmatrix}; Y'_R = \begin{pmatrix} -\sin(\alpha) \\ \cos(\alpha) \\ 0 \end{pmatrix}$$

$$Z'_{R'} = \begin{pmatrix} 0 \\ 0 \\ 1 \end{pmatrix}; Z'_R = \begin{pmatrix} 0 \\ 0 \\ 1 \end{pmatrix}$$

$$M_{R' \rightarrow R} = \begin{pmatrix} \boxed{\cos(\alpha)} & \boxed{-\sin(\alpha)} & \boxed{0} \\ \boxed{\sin(\alpha)} & \boxed{\cos(\alpha)} & \boxed{0} \\ \boxed{0} & \boxed{0} & \boxed{1} \end{pmatrix}$$

# Application numérique à un cas simple

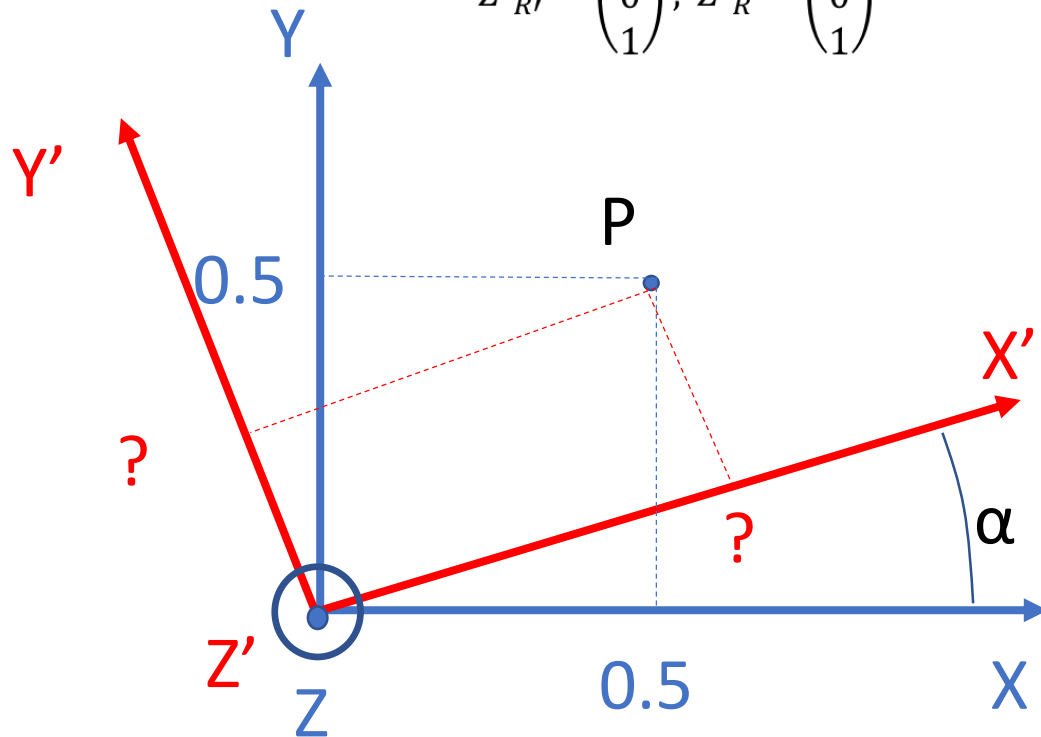
$$X'_{R'} = \begin{pmatrix} 1 \\ 0 \\ 0 \end{pmatrix}; X'_R = \begin{pmatrix} \cos(\alpha) \\ \sin(\alpha) \\ 0 \end{pmatrix}$$

$$Y'_{R'} = \begin{pmatrix} 0 \\ 1 \\ 0 \end{pmatrix}; X'_R = \begin{pmatrix} -\sin(\alpha) \\ \cos(\alpha) \\ 0 \end{pmatrix}$$

$$Z'_{R'} = \begin{pmatrix} 0 \\ 0 \\ 1 \end{pmatrix}; Z'_R = \begin{pmatrix} 0 \\ 0 \\ 1 \end{pmatrix}$$

$$M_{R' \rightarrow R} * X_{R'} = \begin{pmatrix} \cos(\alpha) & -\sin(\alpha) & 0 \\ \sin(\alpha) & \cos(\alpha) & 0 \\ 0 & 0 & 1 \end{pmatrix} * \begin{pmatrix} 1 \\ 0 \\ 0 \end{pmatrix}$$

$$= \begin{pmatrix} \cos(\alpha) \\ \sin(\alpha) \\ 0 \end{pmatrix}$$



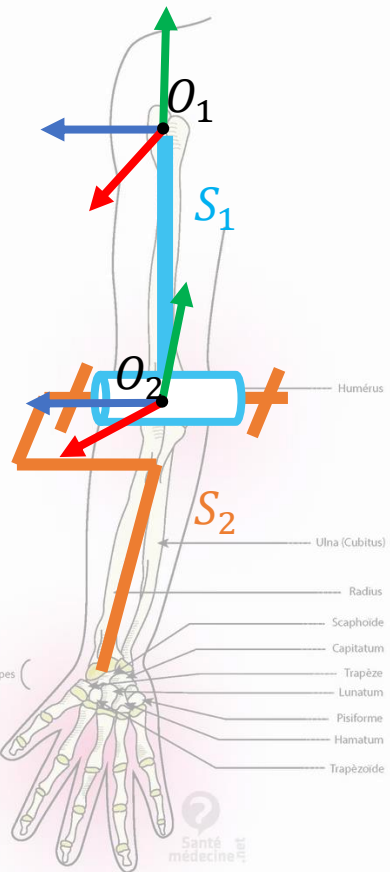
$$(M_{R' \rightarrow R})^{-1} * P_R = (M_{R' \rightarrow R})^T * P_R = \begin{pmatrix} \cos(\alpha) & \sin(\alpha) & 0 \\ -\sin(\alpha) & \cos(\alpha) & 0 \\ 0 & 0 & 1 \end{pmatrix} * \begin{pmatrix} 0.5 \\ 0.5 \\ 0 \end{pmatrix}$$

$$= \begin{pmatrix} 0,5 * \cos(\alpha) + 0,5 * \sin(\alpha) \\ -0,5 * \sin(\alpha) + 0,5 * \cos(\alpha) \\ 0 \end{pmatrix}$$

Tout point P localisé sur le segment S localement  $P_s$  peut ainsi être exprimé dans le repère global  $\Omega$  en utilisant  $M_{S \rightarrow \Omega} : M_{S \rightarrow \Omega} * P_s = P_\Omega$

# Articulation

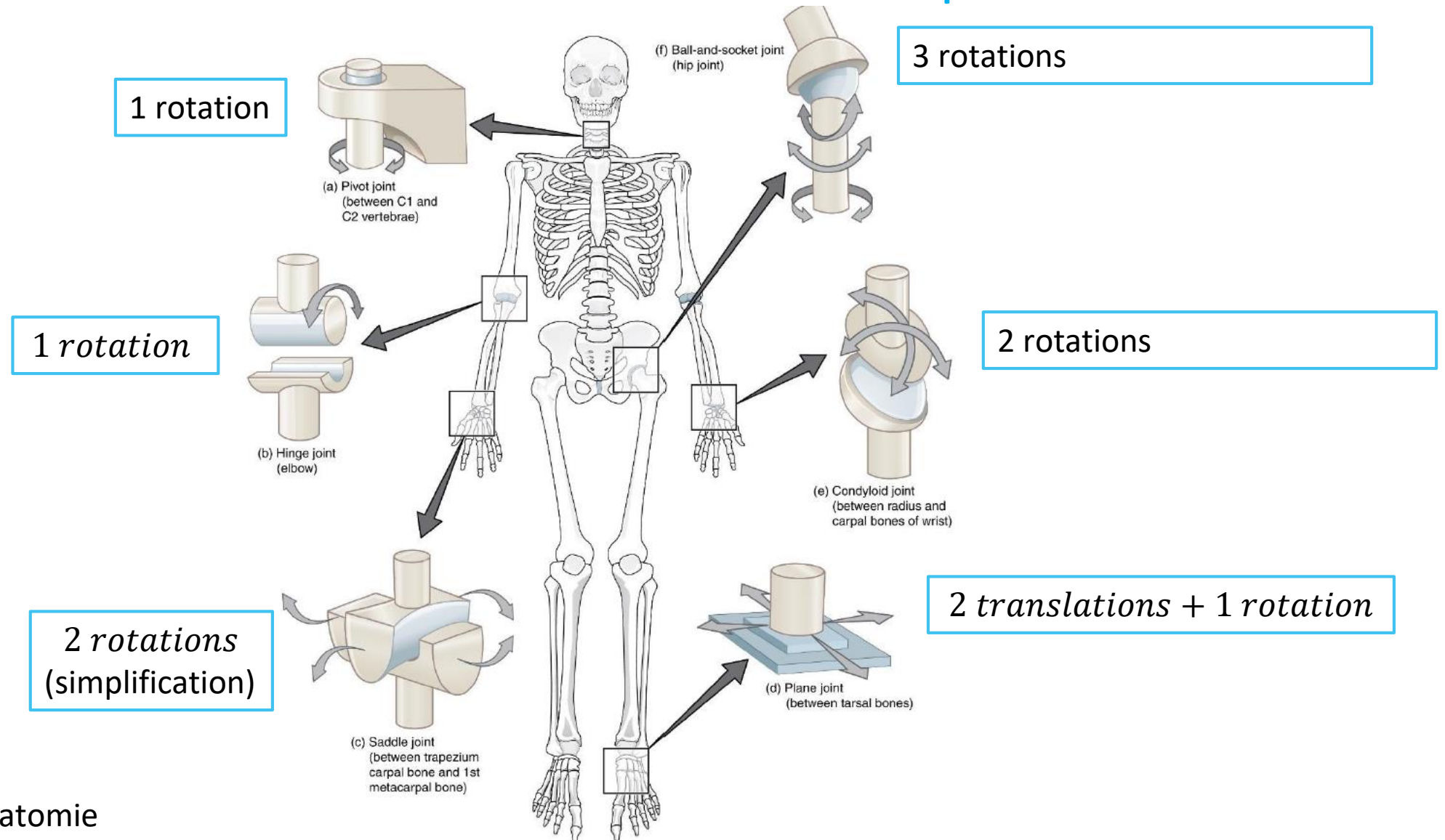
**Liaison mécanique** entre deux solides rigides autorisant une mobilité définie par des degrés de liberté. Elle est définie par un **torseur cinématique résumant ses degrés de liberté**



La liaison entre  $S_1$  et  $S_2$  est une liaison pivot

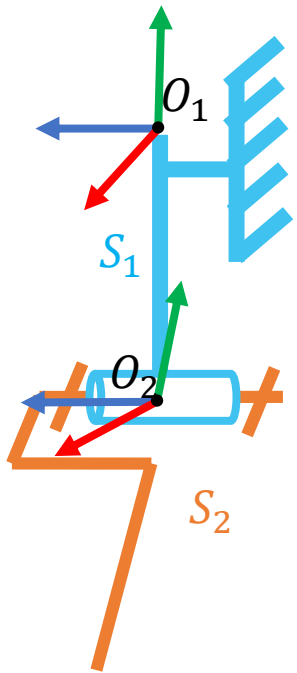
Elle permet la mobilité de  $S_2$  par rapport à  $S_1$  en autorisant une rotation autour de  $\vec{z}_1$  : un degré de liberté que l'on peut ici appeler  $q_1$  (**angle articulaire**)

# Quelles articulations dans le corps humain ?

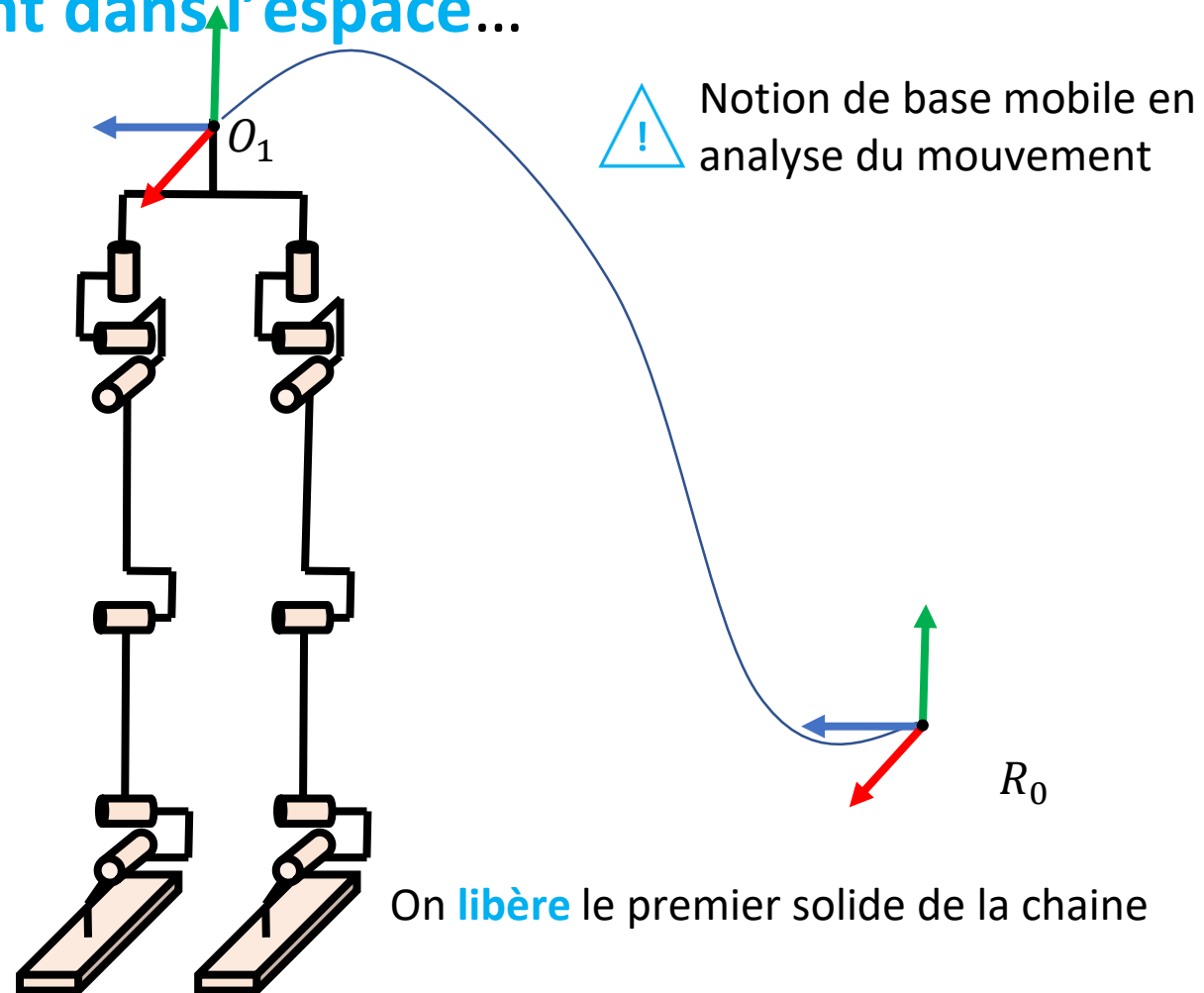


# Notion de base

- Les solides ne bougent pas **librement dans l'espace**...



On **fixe** le premier solide de la chaîne – « racine »

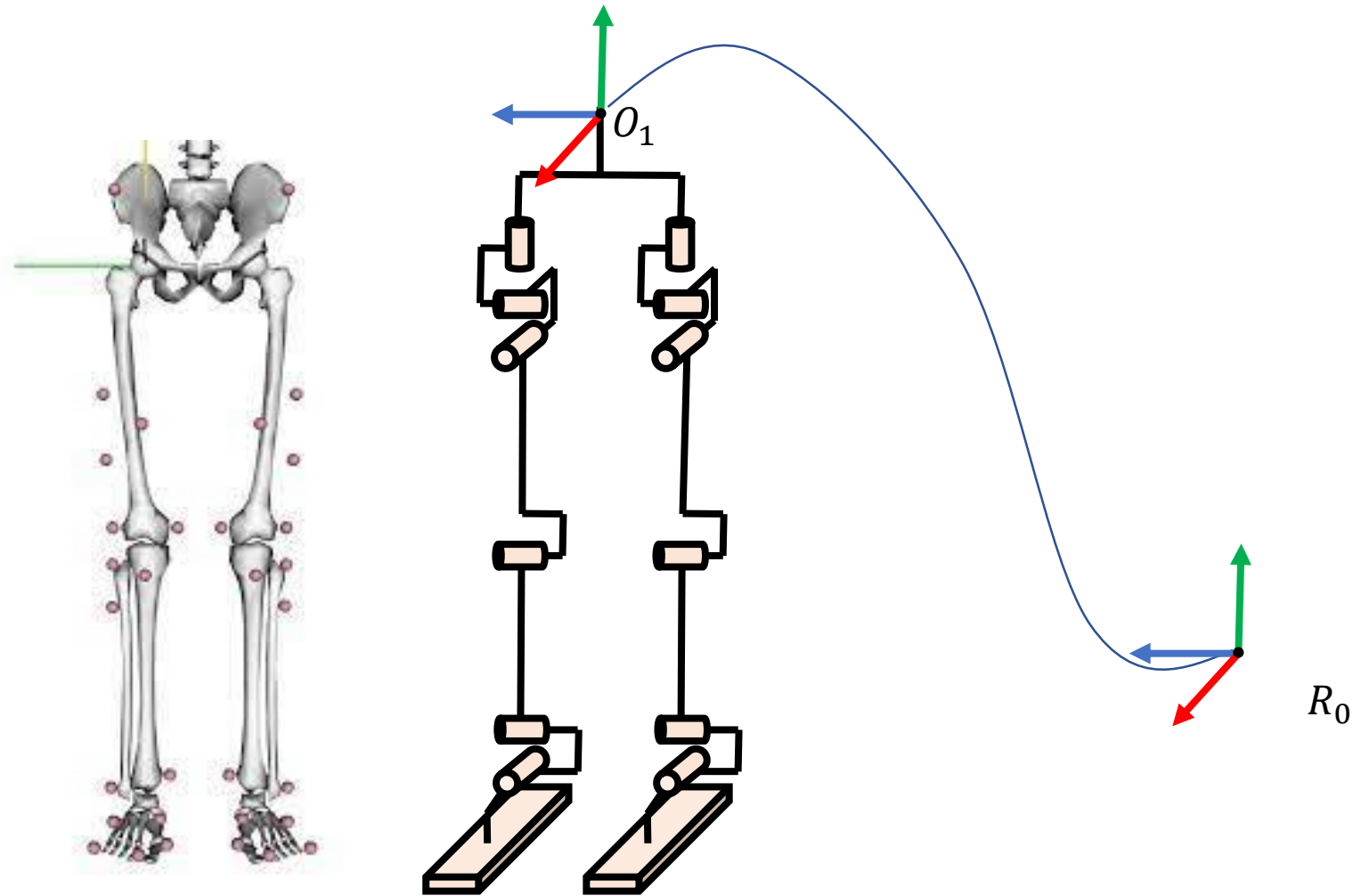


# Notion de géométrie/cinématique directe

- Mise en correspondance entre des mesures de marqueurs externes, et un modèle théorique + articulations parfaites

→ Position de chaque marqueur =  $f(\text{angles, modèle})$

Oblige à combiner les transformations géométriques





# Mise à l'échelle du modèle

## Modèle générique

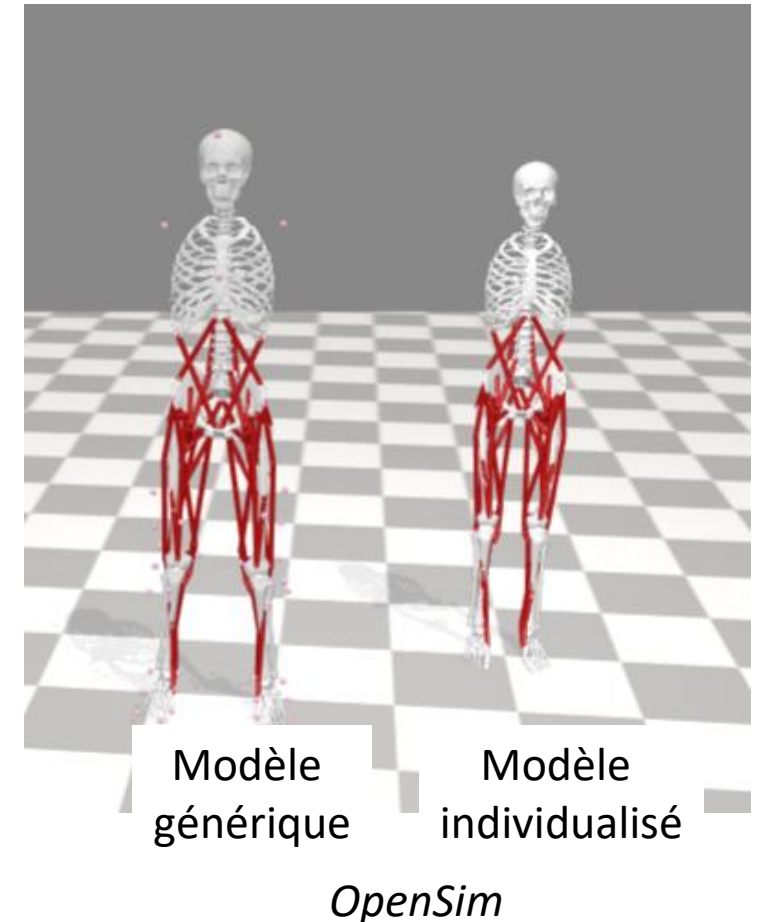
- Structure
- Articulations
- Dimensions
- Masses

## Modèle individualisé

- = Structure
- = Articulations
- ≠ Dimensions
- ≠ Masses

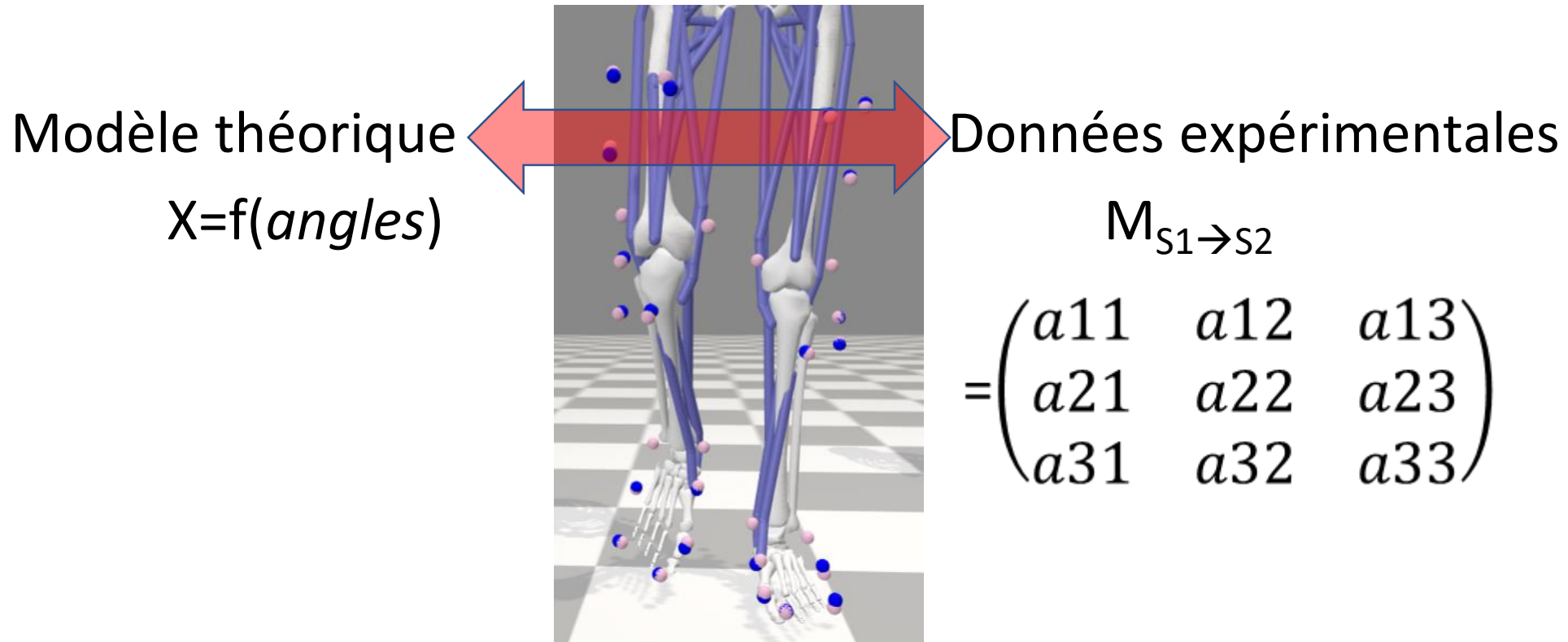
Nécessite donc une mise à l'échelle du modèle générique  
pour s'adapter au sujet de votre étude

➔ Appliquer des ratios sur les dimensions de chaque segment



# Méthode directe d'évaluation des angles articulaires

- Mettre en correspondance un modèle exprimant des angles (symboliques) et des matrices de passages (numériques) sur les données expérimentales



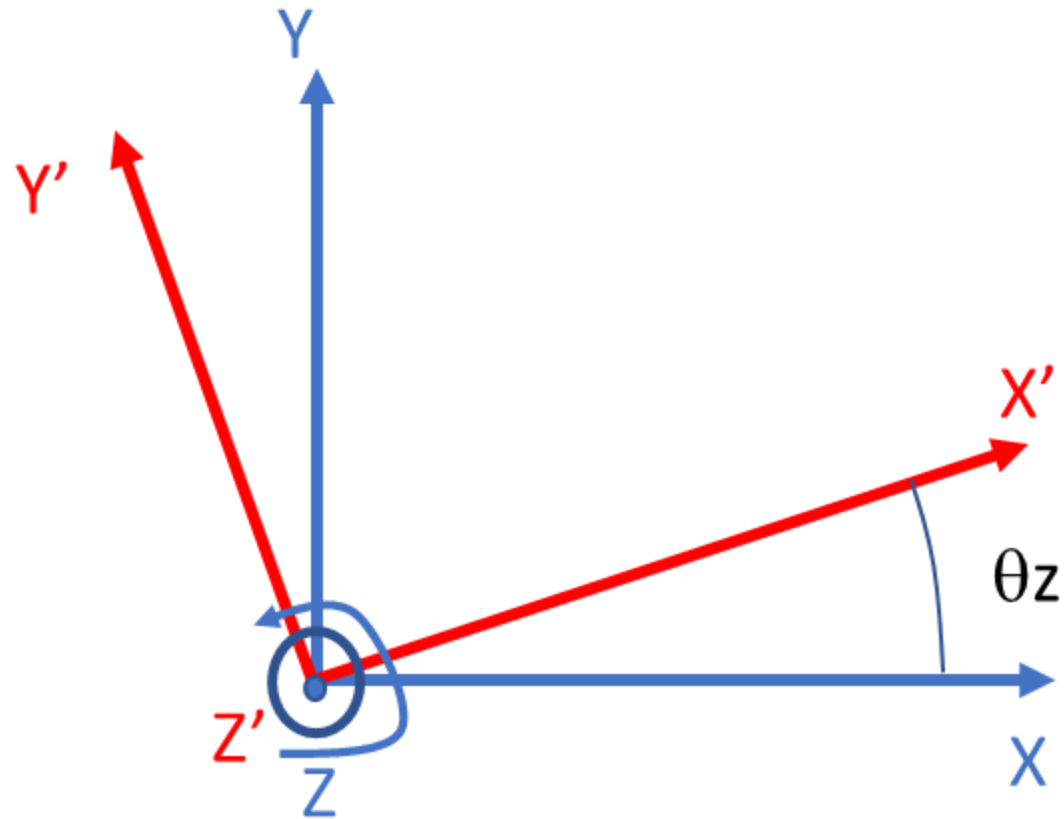
# Définition du modèle théorique : Composition de rotations

- Artculations +/- complexes
- Rotation en 3D vue comme une séquence de rotations 1D : principe des repères tournants (type « Angles d'Euler »)
  - Ordre des rotations
  - Décomposition sur un repère orthonormé

$$R_x = \begin{pmatrix} 1 & 0 & 0 \\ 0 & \cos(\theta_x) & -\sin(\theta_x) \\ 0 & \sin(\theta_x) & \cos(\theta_x) \end{pmatrix} \quad R_y = \begin{pmatrix} \cos(\theta_y) & 0 & \sin(\theta_y) \\ 0 & 1 & 0 \\ -\sin(\theta_y) & 0 & \cos(\theta_y) \end{pmatrix}$$
$$R_z = \begin{pmatrix} \cos(\theta_z) & -\sin(\theta_z) & 0 \\ \sin(\theta_z) & \cos(\theta_z) & 0 \\ 0 & 0 & 1 \end{pmatrix}$$

# Composition de rotations

- Cas de deux rotations dans l'ordre  $R_z$  puis  $R_y$

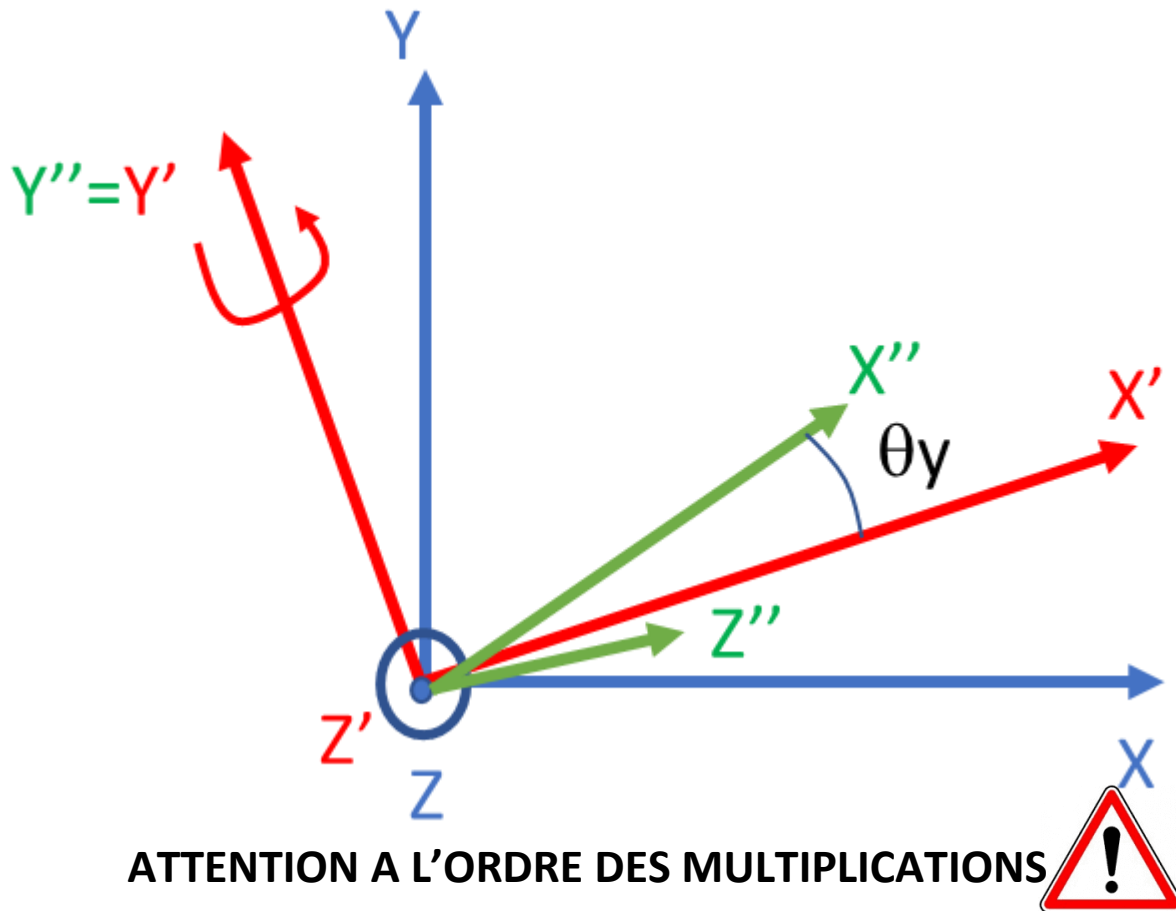


$$M_{R' \rightarrow R} = \begin{pmatrix} \cos(\theta_z) & -\sin(\theta_z) & 0 \\ \sin(\theta_z) & \cos(\theta_z) & 0 \\ 0 & 0 & 1 \end{pmatrix}$$

$$M_{R' \rightarrow R} * V_{R'} = V_R$$

# Composition de rotations

- Cas de deux rotations dans l'ordre Rz puis Ry



$$M_{R' \rightarrow R} = \begin{pmatrix} \cos(\theta_z) & -\sin(\theta_z) & 0 \\ \sin(\theta_z) & \cos(\theta_z) & 0 \\ 0 & 0 & 1 \end{pmatrix}$$

$$M_{R' \rightarrow R} * \boxed{V_{R'}} = V_R$$

$$M_{R'' \rightarrow R'} = \begin{pmatrix} \cos(\theta_y) & 0 & \sin(\theta_z) \\ 0 & 1 & 0 \\ -\sin(\theta_z) & 0 & \cos(\theta_y) \end{pmatrix}$$

$$M_{R'' \rightarrow R'} * V_{R''} = \boxed{V_{R'}}$$

$$\underbrace{M_{R' \rightarrow R} * M_{R'' \rightarrow R'}}_{M_{R'' \rightarrow R}} * V_{R''} = V_R$$

# Modélisation de l'articulation

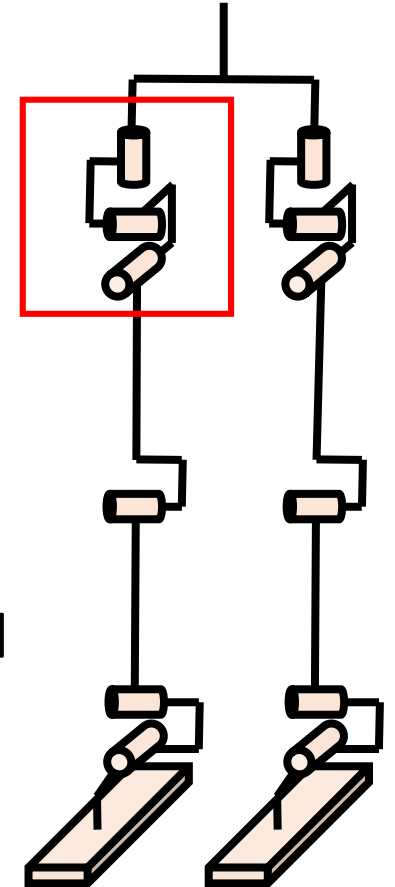
- Cas d'une articulation composée de 3 rotations dans l'ordre Z,Y,X

$$\underbrace{M_{R' \rightarrow R} * M_{R'' \rightarrow R'} * M_{R''' \rightarrow R''}} * V_{R'''} = V_R$$

$$\begin{pmatrix} \cos(\theta_z) & -\sin(\theta_z) & 0 \\ \sin(\theta_z) & \cos(\theta_z) & 0 \\ 0 & 0 & 1 \end{pmatrix} * \begin{pmatrix} \cos(\theta_y) & 0 & \sin(\theta_y) \\ 0 & 1 & 0 \\ -\sin(\theta_y) & 0 & \cos(\theta_y) \end{pmatrix} * \begin{pmatrix} 1 & 0 & 0 \\ 0 & \cos(\theta_x) & -\sin(\theta_x) \\ 0 & \sin(\theta_x) & \cos(\theta_x) \end{pmatrix}$$

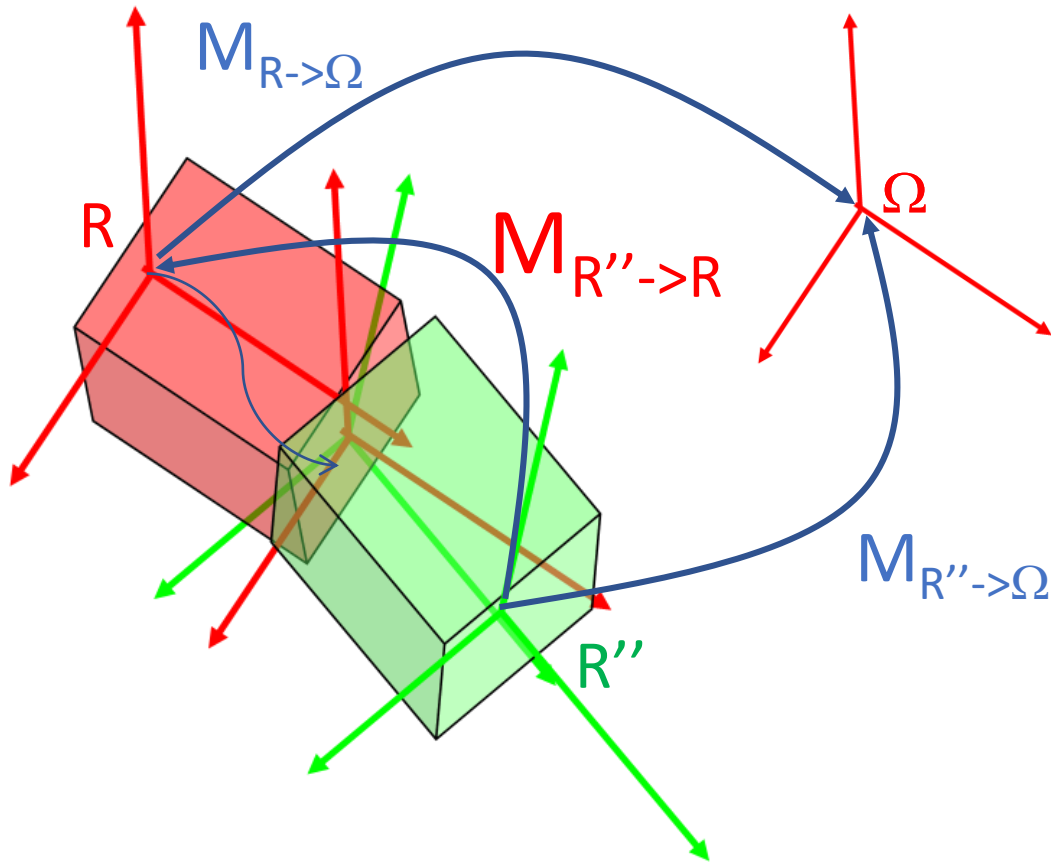
=

$$\begin{aligned} & [\cos(\theta_y) * \cos(\theta_z), \cos(\theta_z) * \sin(\theta_x) * \sin(\theta_y) - \cos(\theta_x) * \sin(\theta_z), \sin(\theta_x) * \sin(\theta_z) + \cos(\theta_x) * \cos(\theta_z) * \sin(\theta_y)] \\ & [\cos(\theta_y) * \sin(\theta_z), \cos(\theta_x) * \cos(\theta_z) + \sin(\theta_x) * \sin(\theta_y) * \sin(\theta_z), \cos(\theta_x) * \sin(\theta_y) * \sin(\theta_z) - \cos(\theta_z) * \sin(\theta_x)] \\ & [-\sin(\theta_y), \cos(\theta_y) * \sin(\theta_x), \cos(\theta_x) * \cos(\theta_y)] \end{aligned}$$



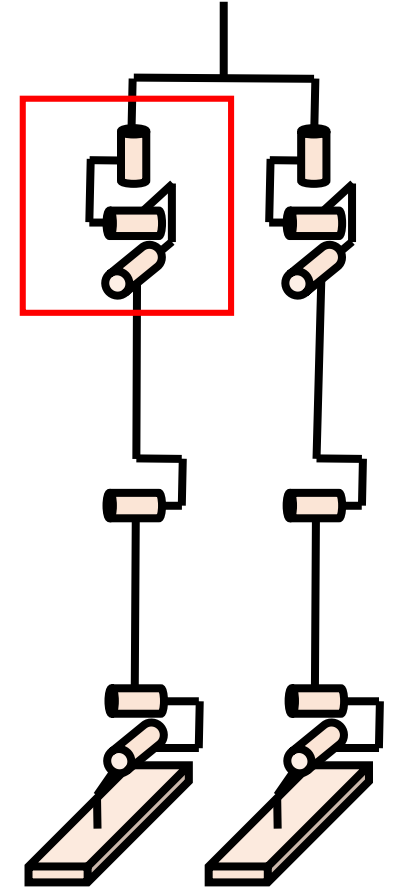
# Modélisation de l'articulation

- Cas d'une articulation composée de 3 rotations dans l'ordre Z,Y,X



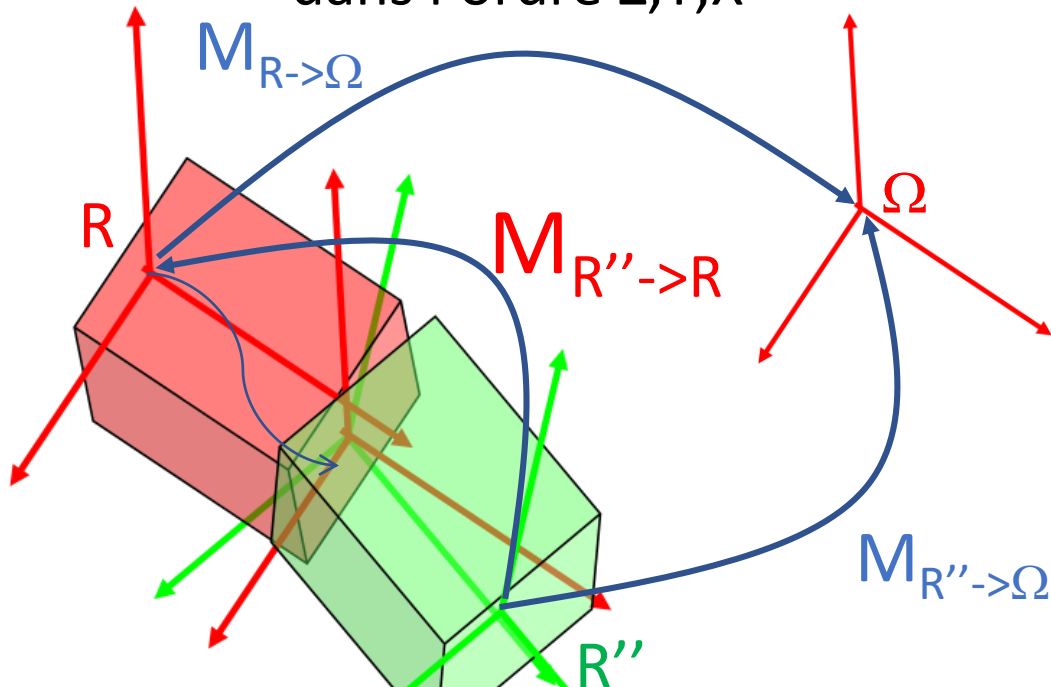
$$M_{R''' \rightarrow R} = M_{\Omega \rightarrow R} * M_{R''' \rightarrow \Omega}$$

$$M_{R''' \rightarrow R} = M_{R \rightarrow \Omega}^T * M_{R''' \rightarrow \Omega}$$



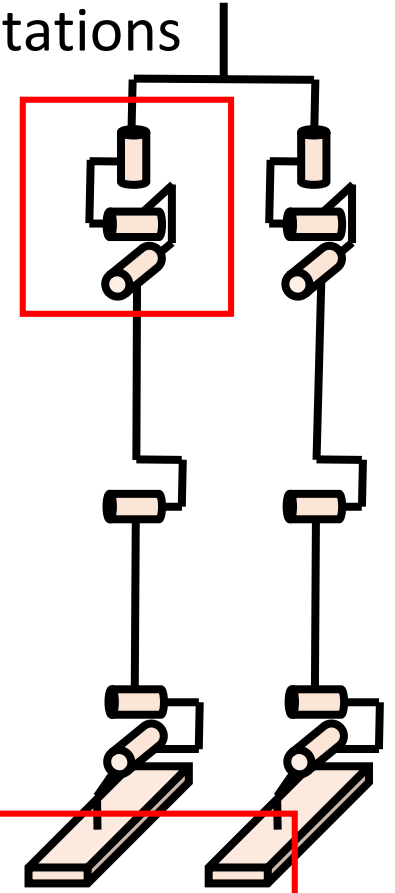
# Modélisation de l'articulation

- Données expérimentales : Cas d'une articulation composée de 3 rotations dans l'ordre Z,Y,X



$$M_{R''' \rightarrow R} = M_{\Omega \rightarrow R} * M_{R''' \rightarrow \Omega}$$

$$M_{R''' \rightarrow R} = M_{R \rightarrow \Omega}^T * M_{R''' \rightarrow \Omega}$$



$$M_{R''' \rightarrow R} = \begin{pmatrix} X_R / \Omega & Y_R / \Omega & Z_R / \Omega \end{pmatrix}^T * \begin{pmatrix} X_{R'''} / \Omega & Y_{R'''} / \Omega & Z_{R'''} / \Omega \end{pmatrix}$$



# Modélisation de l'articulation

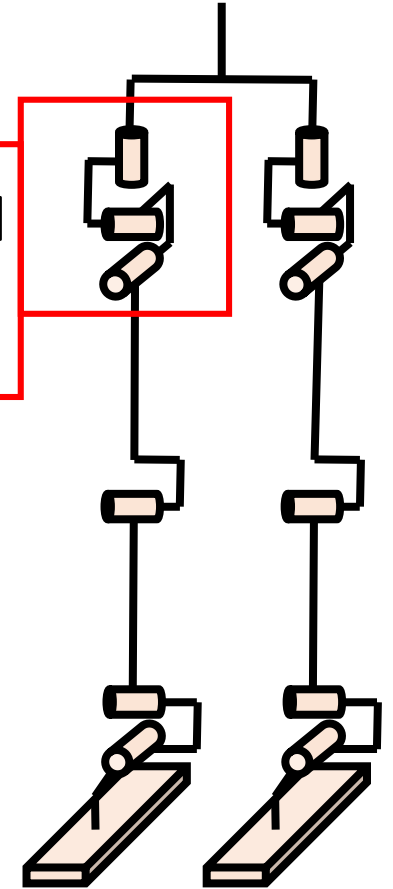
- Cas d'une articulation composée de 3 rotations dans l'ordre Z,Y,X

$$\begin{bmatrix} \cos(ty) \cdot \cos(tz), & \cos(tz) \cdot \sin(tx) \cdot \sin(ty) - \cos(tx) \cdot \sin(tz), & \sin(tx) \cdot \sin(tz) + \cos(tx) \cdot \cos(tz) \cdot \sin(ty) \\ \cos(ty) \cdot \sin(tz), & \cos(tx) \cdot \cos(tz) + \sin(tx) \cdot \sin(ty) \cdot \sin(tz), & \cos(tx) \cdot \sin(ty) \cdot \sin(tz) - \cos(tz) \cdot \sin(tx) \\ -\sin(ty), & \cos(ty) \cdot \sin(tx), & \cos(tx) \cdot \cos(ty) \end{bmatrix}$$

=

$$M_{R''' \rightarrow R} = \begin{pmatrix} X_R / \Omega & Y_R / \Omega & Z_R / \Omega \end{pmatrix}^T * \begin{pmatrix} X_{R'''} / \Omega & Y_{R'''} / \Omega & Z_{R'''} / \Omega \end{pmatrix}$$

$$= \begin{pmatrix} a_{11} & a_{12} & a_{13} \\ a_{21} & a_{22} & a_{23} \\ a_{31} & a_{32} & a_{33} \end{pmatrix}$$



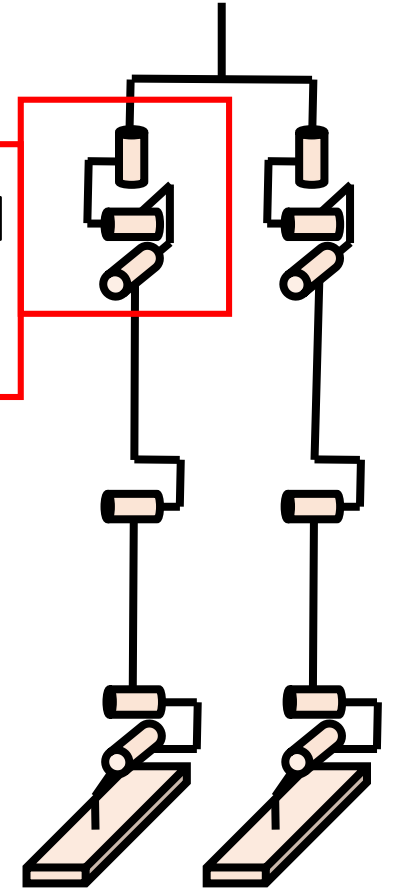
# Modélisation de l'articulation

- Cas d'une articulation composée de 3 rotations dans l'ordre Z,Y,X

$$\begin{bmatrix} \cos(ty)*\cos(tz), & \cos(tz)*\sin(tx)*\sin(ty) - \cos(tx)*\sin(tz), & \sin(tx)*\sin(tz) + \cos(tx)*\cos(tz)*\sin(ty) \\ \cos(ty)*\sin(tz), & \cos(tx)*\cos(tz) + \sin(tx)*\sin(ty)*\sin(tz), & \cos(tx)*\sin(ty)*\sin(tz) - \cos(tz)*\sin(tx) \\ -\sin(ty), & \cos(ty)*\sin(tx), & \cos(tx)*\cos(ty) \end{bmatrix}$$

$$= \begin{pmatrix} a_{11} & a_{12} & a_{13} \\ a_{21} & a_{22} & a_{23} \\ a_{31} & a_{32} & a_{33} \end{pmatrix}$$

$$\frac{a_{32}}{a_{33}} = \frac{\cos(ty)*\sin(tx)}{\cos(tx)*\cos(ty)} = \tan(tx)$$
$$tx = \text{atan2}\left(\frac{a_{32}}{a_{33}}\right)$$



# Modélisation de l'articulation

- Cas d'une articulation composée de 3 rotations dans l'ordre Z,Y,X

$$= \begin{bmatrix} \cos(ty)*\cos(tz), & \cos(tz)*\sin(tx)*\sin(ty) - \cos(tx)*\sin(tz), & \sin(tx)*\sin(tz) + \cos(tx)*\cos(tz)*\sin(ty) \\ \cos(ty)*\sin(tz), & \cos(tx)*\cos(tz) + \sin(tx)*\sin(ty)*\sin(tz), & \cos(tx)*\sin(ty)*\sin(tz) - \cos(tz)*\sin(tx) \\ -\sin(ty), & \cos(ty)*\sin(tx), & \cos(tx)*\cos(ty) \end{bmatrix}$$

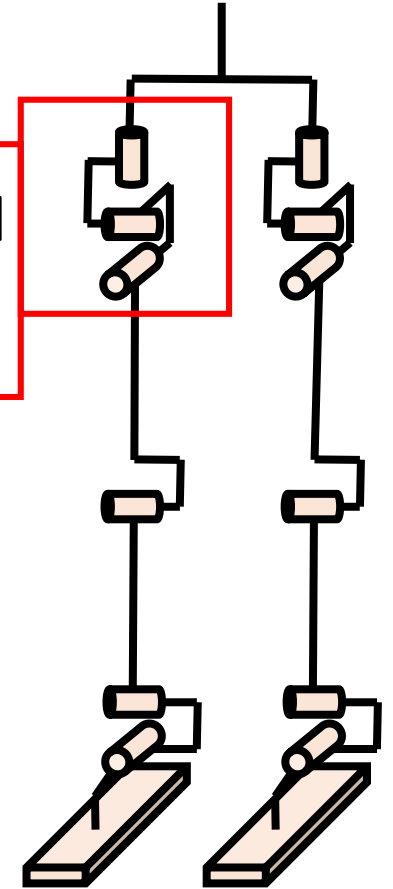
$$= \begin{pmatrix} a_{11} & a_{12} & a_{13} \\ a_{21} & a_{22} & a_{23} \\ a_{31} & a_{32} & a_{33} \end{pmatrix}$$

$$\frac{a_{32}}{a_{33}} = \frac{\cos(ty)*\sin(tx)}{\cos(tx)*\cos(ty)} = \tan(tx)$$

$$tx = \text{atan2}\left(\frac{a_{32}}{a_{33}}\right)$$

$$\frac{a_{21}}{a_{11}} = \frac{\cos(ty)*\sin(tz)}{\cos(ty)*\cos(tz)} = \tan(tz)$$

$$tz = \text{atan2}\left(\frac{a_{21}}{a_{11}}\right)$$



# Modélisation de l'articulation

- Cas d'une articulation composée de 3 rotations dans l'ordre Z,Y,X

$$= \begin{bmatrix} \cos(ty)*\cos(tz), & \cos(tz)*\sin(tx)*\sin(ty) - \cos(tx)*\sin(tz), & \sin(tx)*\sin(tz) + \cos(tx)*\cos(tz)*\sin(ty) \\ \cos(ty)*\sin(tz), & \cos(tx)*\cos(tz) + \sin(tx)*\sin(ty)*\sin(tz), & \cos(tx)*\sin(ty)*\sin(tz) - \cos(tz)*\sin(tx) \\ -\sin(ty), & \cos(ty)*\sin(tx), & \cos(tx)*\cos(ty) \end{bmatrix}$$

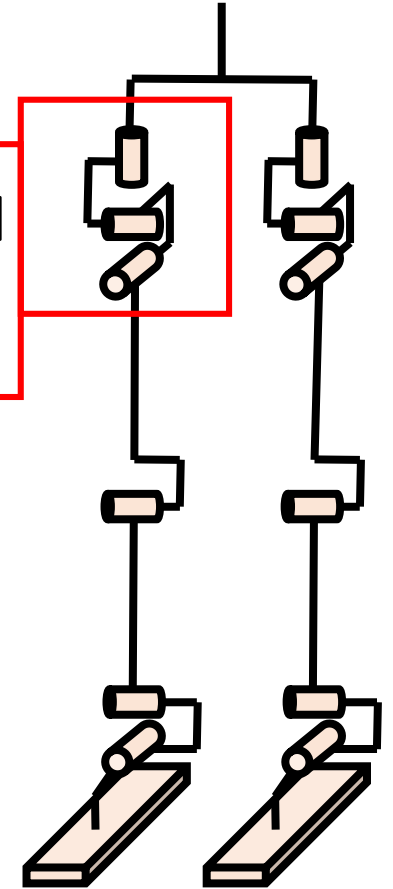
$$= \begin{pmatrix} a_{11} & a_{12} & a_{13} \\ a_{21} & a_{22} & a_{23} \\ a_{31} & a_{32} & a_{33} \end{pmatrix}$$

$$tx = \text{atan2}\left(\frac{a_{32}}{a_{33}}\right)$$

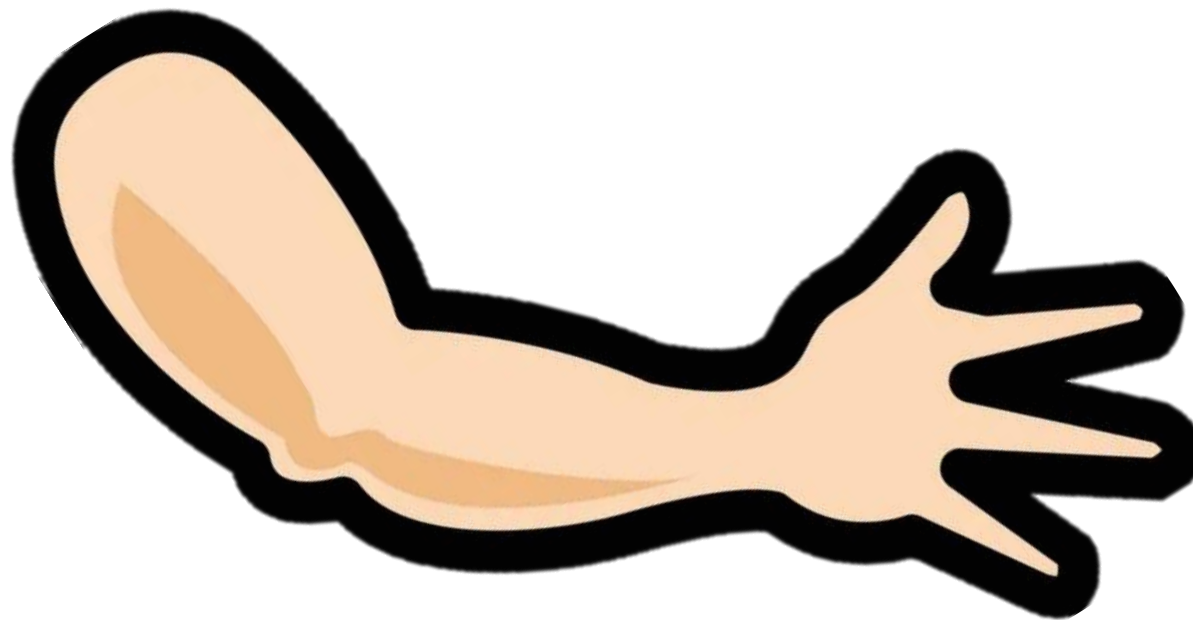
$$tz = \text{atan2}\left(\frac{a_{21}}{a_{11}}\right)$$

$$\frac{a_{31}}{a_{11}} = \frac{-\sin(ty)}{\cos(ty)*\cos(tz)} = -\frac{1}{\cos(tz)} * \tan(ty)$$

$$ty = \text{atan2}\left(-\cos(tz) * \frac{a_{31}}{a_{11}}\right)$$



Quelle démarche ?



# Objectif visé [?] éléments à modéliser

Locomotion



Pratique de la guitare



Service au tennis



# Objectif visé ☐ Choix de modélisation



## Choix des segments et des articulations

- analyse de la structure osseuse
- analyse des mobilités fonctionnelles

## Analyses Macro (marche, course, saut...)

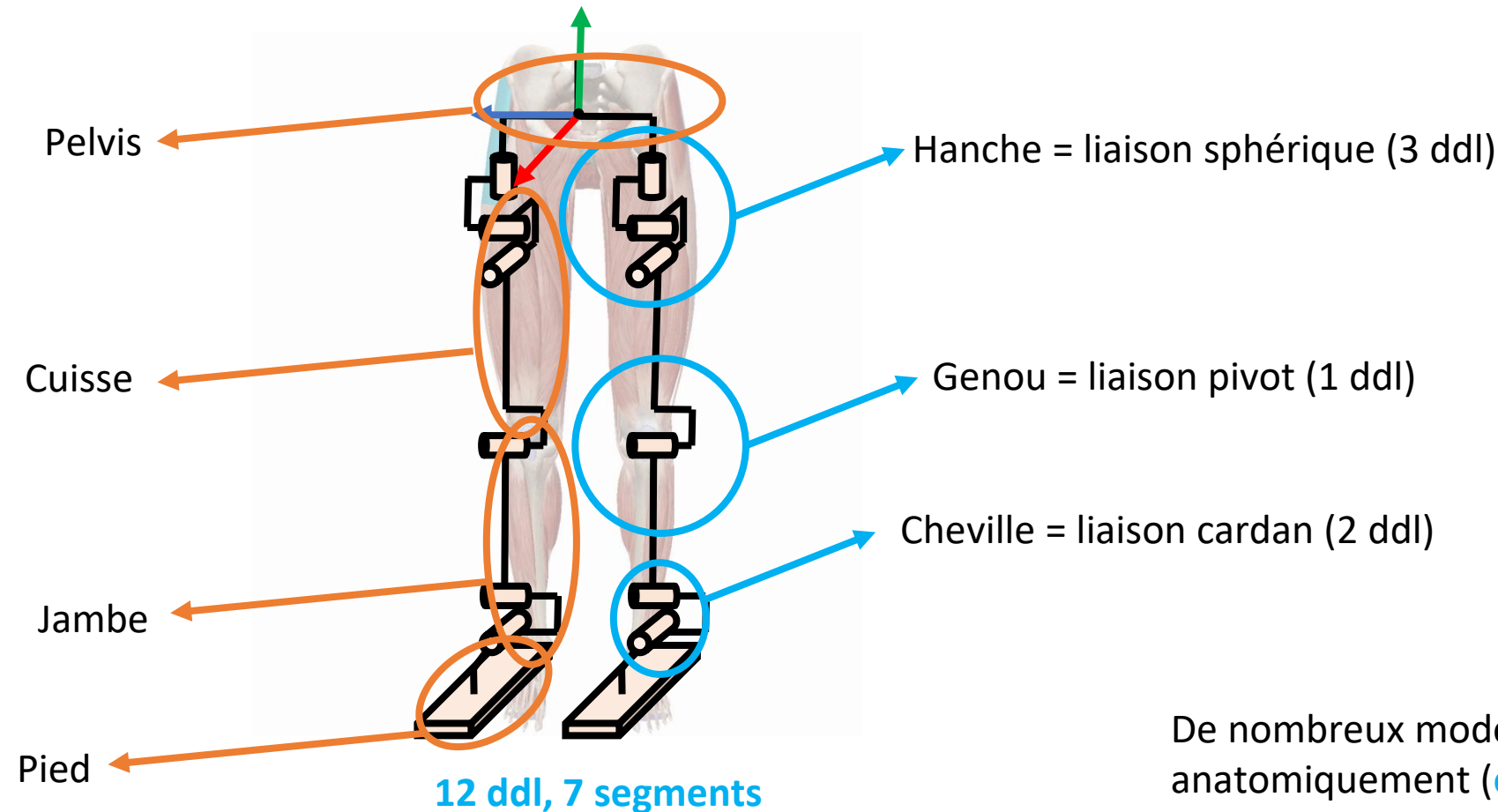
- >rarement de détail (orteils, os sésamoïdes, os plats...)

## Analyses 2D

- > ok en première approche pour les mouvements avec une direction principale  
(course, saut en longueur,...)

# Modèle biomécanique simple

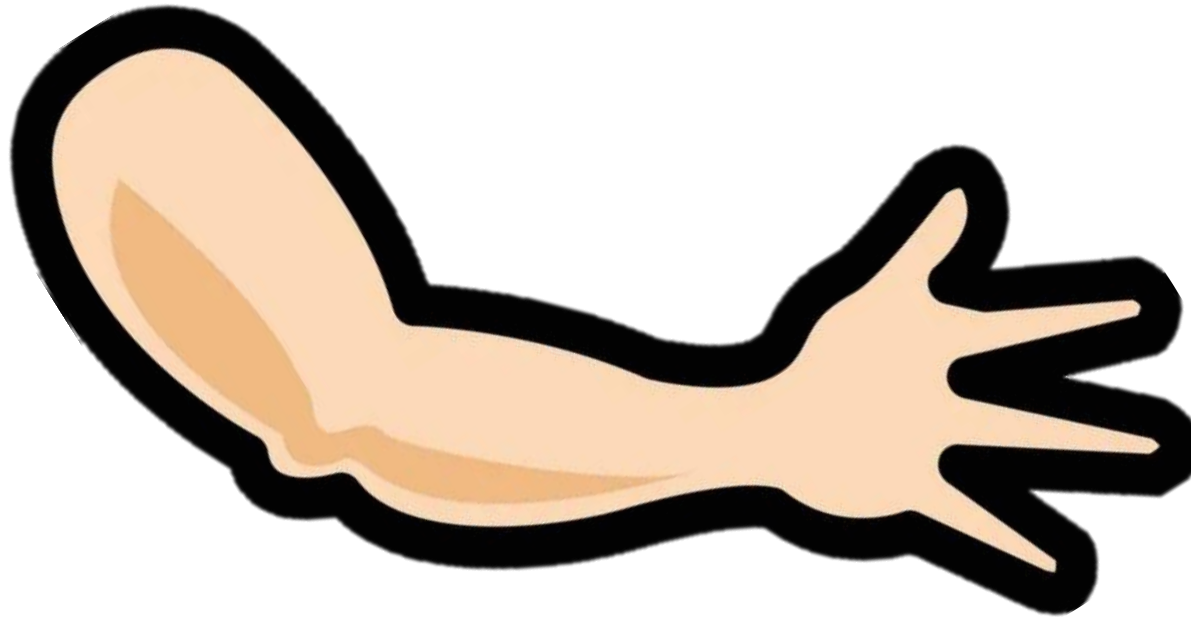
## membres inférieurs



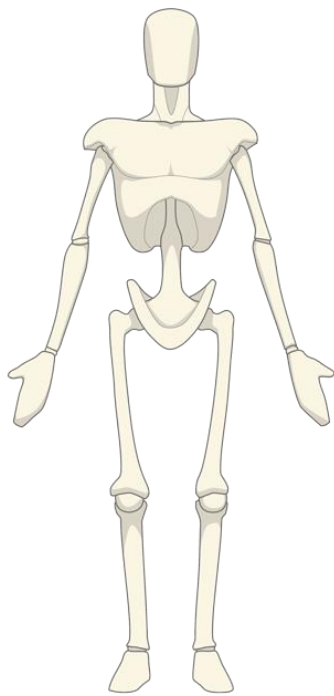
De nombreux modèles + complexes, + fidèles anatomiquement (orientation des axes de rotation, fermetures cinématiques, dépendances cinématiques...)



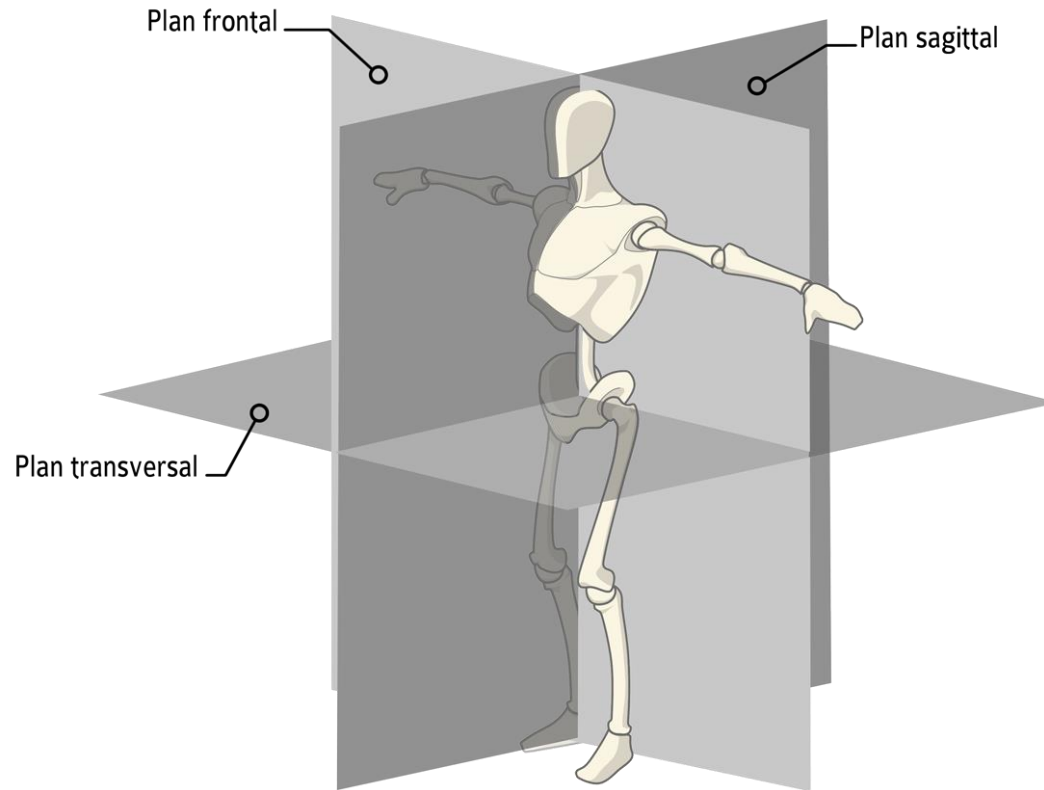
Quelles conventions ?



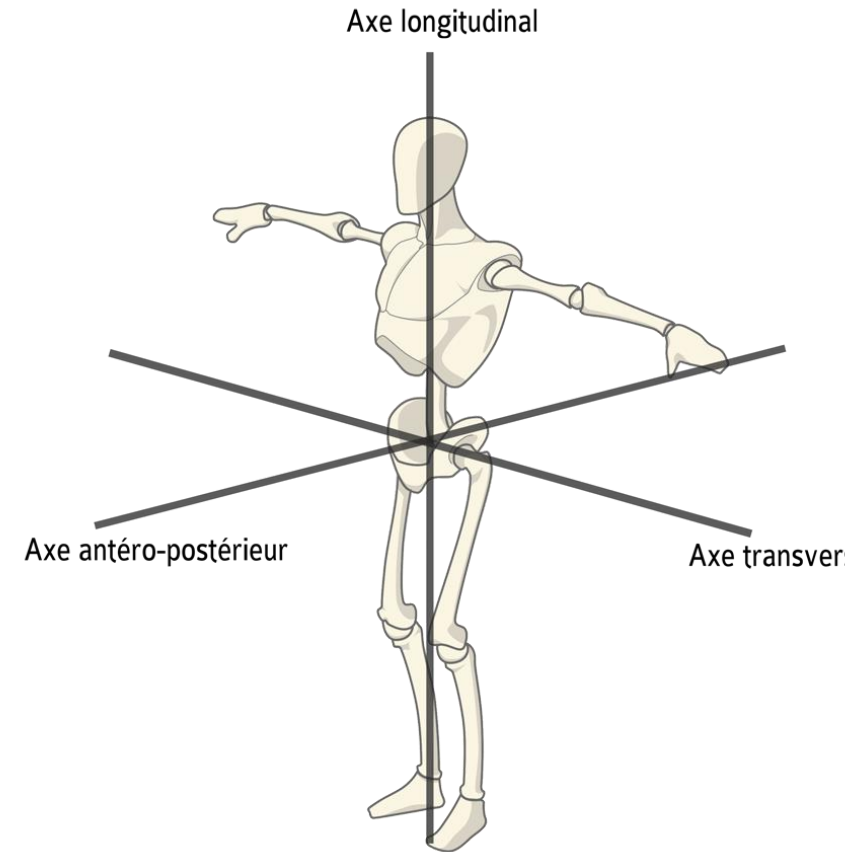
# Plans et axes anatomiques



Position anatomique de référence

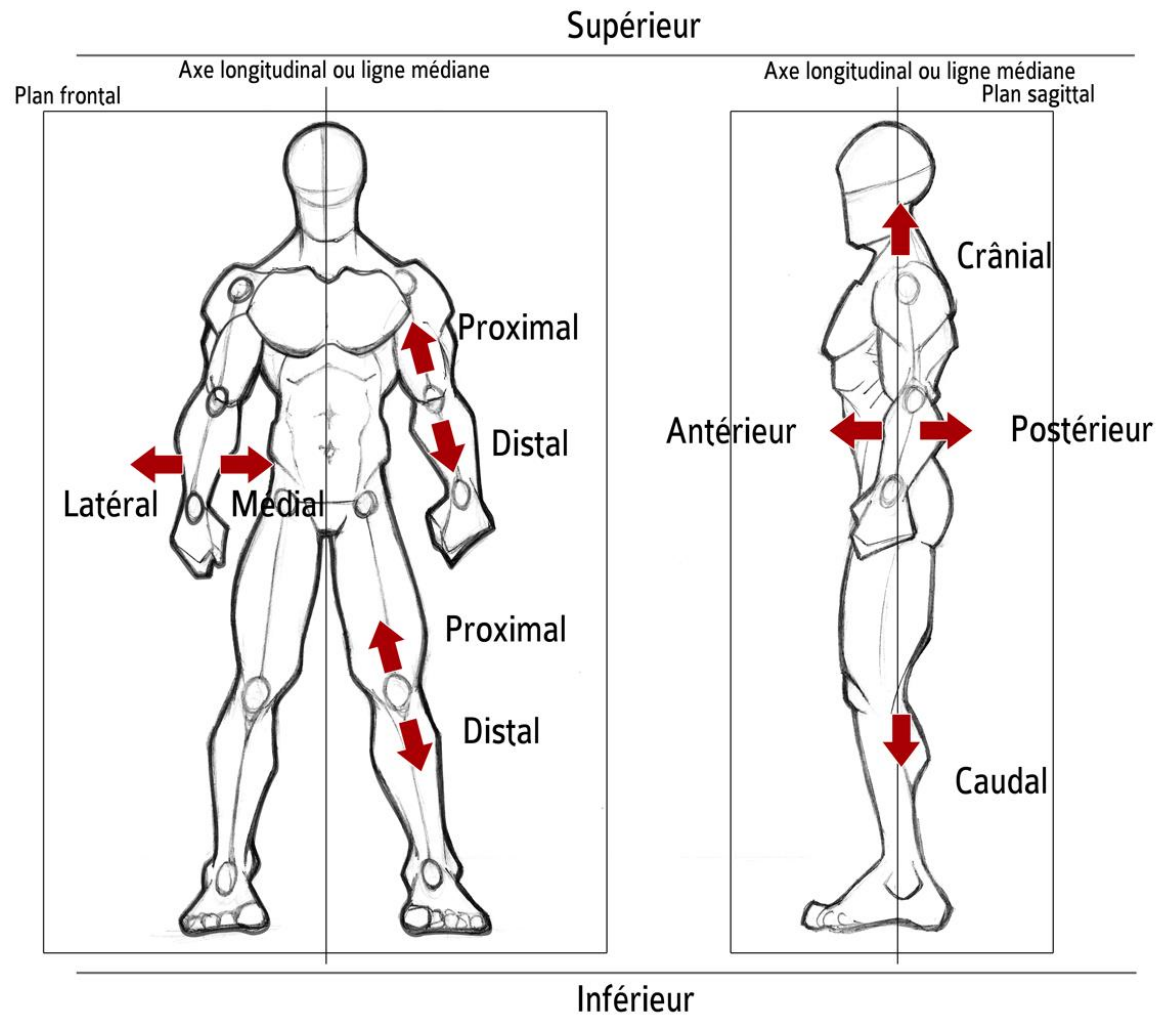


Plans anatomiques



Axes anatomiques

# Définitions anatomiques



# Repérage et paramétrage



Journal of Biomechanics  
Volume 35, Issue 4, April 2002, Pages 543-548



Letter to the editor

ISB recommendation on definitions of joint coordinate system of various joints for the reporting of human joint motion—part I: ankle, hip, and spine

Ge Wu<sup>a, 1</sup>, Sorin Siegler<sup>b, 1</sup>, Paul Allard<sup>c, 1</sup>, Chris Kirtley<sup>d, 1</sup>, Alberto Leardini<sup>e, 1, 2</sup>, Dieter Rosenbaum<sup>f, 1</sup>, Mike Whittle<sup>g, 1</sup>, Darryl D Lima<sup>h, 2</sup>, Luca Cristofolini<sup>i, 2</sup>, Hartmut Witte<sup>j, 2</sup>, Oskar Schmid<sup>k, 2</sup>, Ian Stokes<sup>l, 3</sup>

Show more



Journal of Biomechanics  
Volume 38, Issue 5, May 2005, Pages 981-992



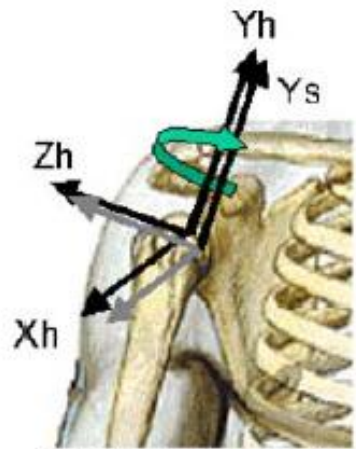
ISB recommendation on definitions of joint coordinate systems of various joints for the reporting of human joint motion—Part II: shoulder, elbow, wrist and hand

Ge Wu<sup>a, 1</sup>, Frans C.T. van der Helm<sup>b, 2</sup>, H.E.J. (Dirkjan) Veege<sup>c, d, 2</sup>, Mohsen Makhsous<sup>e, 2</sup>, Peter Van Roy<sup>f, 2</sup>, Carolyn Anglin<sup>g, 2</sup>, Jochem Nagels<sup>h, 2</sup>, Andrew R. Karduna<sup>i, 2</sup>, Kevin McQuade<sup>j, 2</sup>, Xuguang Wang<sup>k, 2</sup>, Frederick W. Werner<sup>l, 3, 4</sup>, Bryan Buchholz<sup>m, 3</sup>

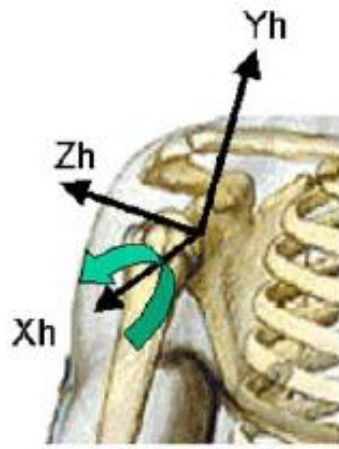


Conventions de repérage des segments corporels et de paramétrage des mobilités

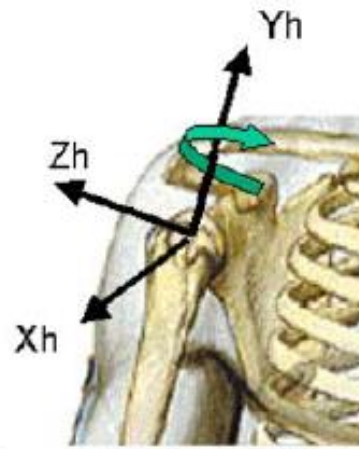
# Exemples



GH plane of elevation



Negative GH elevation



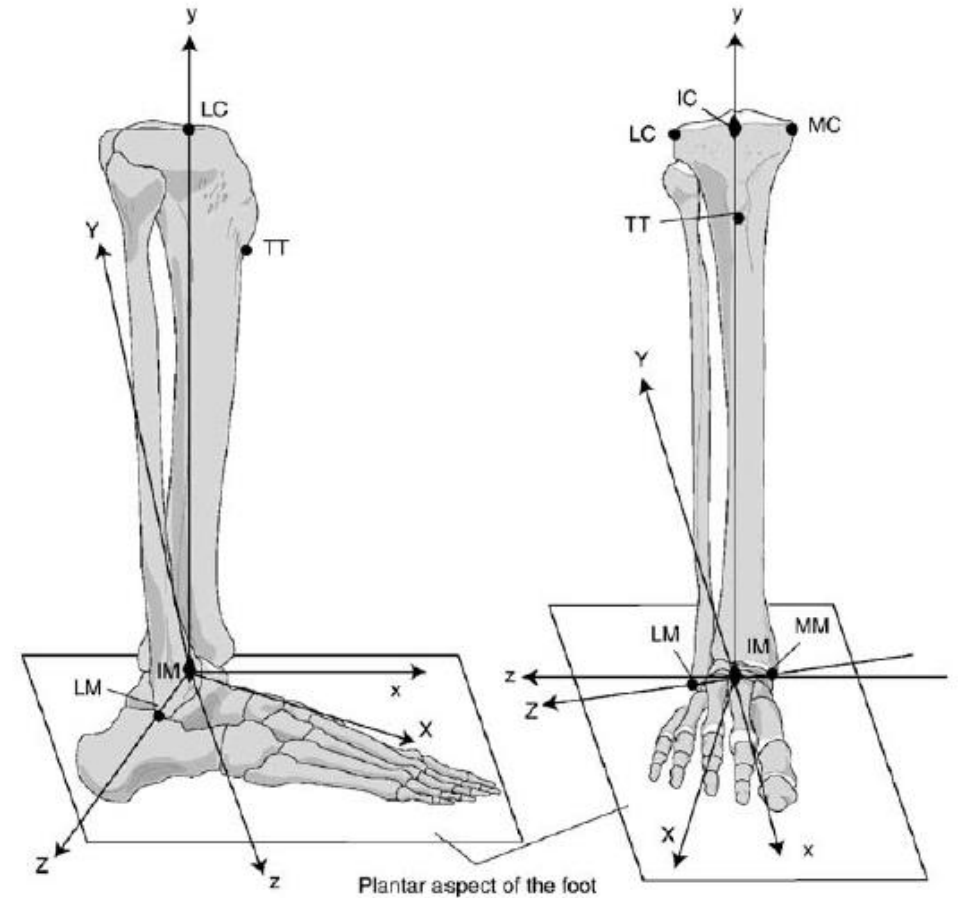
GH axial rotation

Liaison **gléno-humérale**

**y** longitudinal

**x** antéro-postérieur la plupart du temps

**z** transverse (médio-latéral)



Repérage **tibia-fibula & calcaneus**

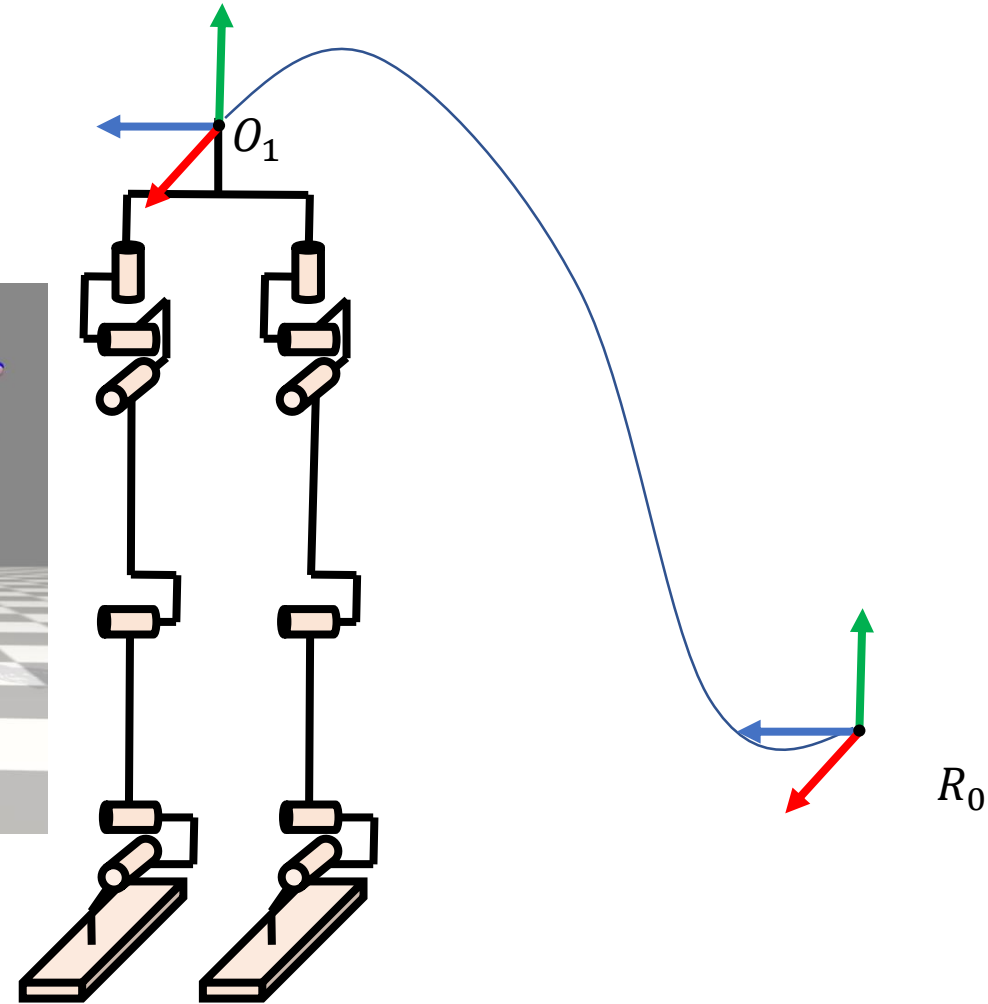
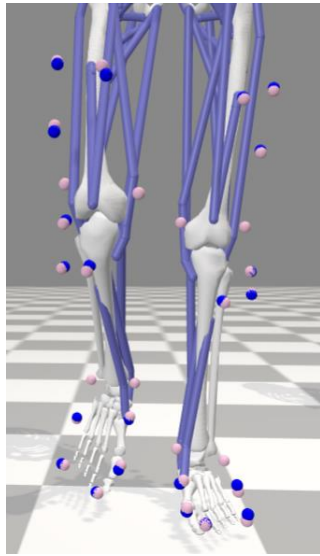
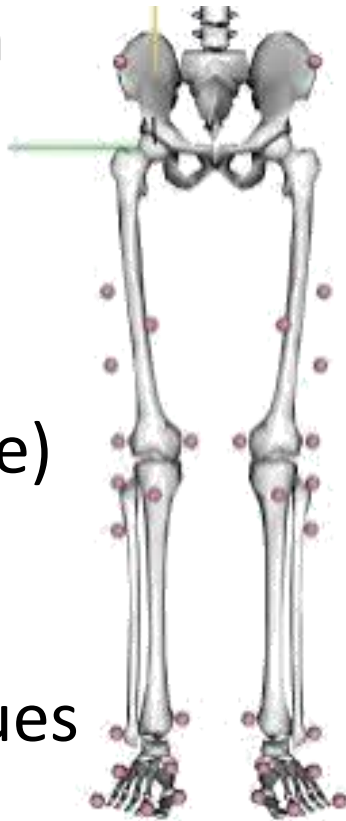
# Notion de géométrie/cinématique directe

- Mise en correspondance entre des mesures de marqueurs externes, et un modèle théorique + articulations parfaites

→ Position de chaque marqueur =  $f(\text{angles, modèle})$

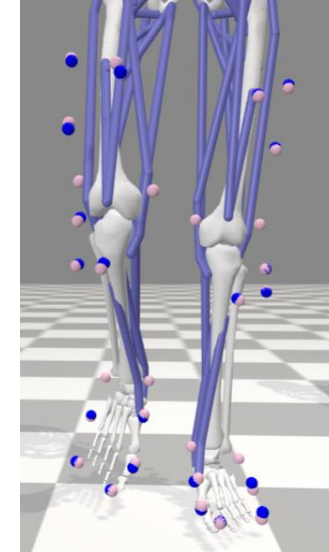
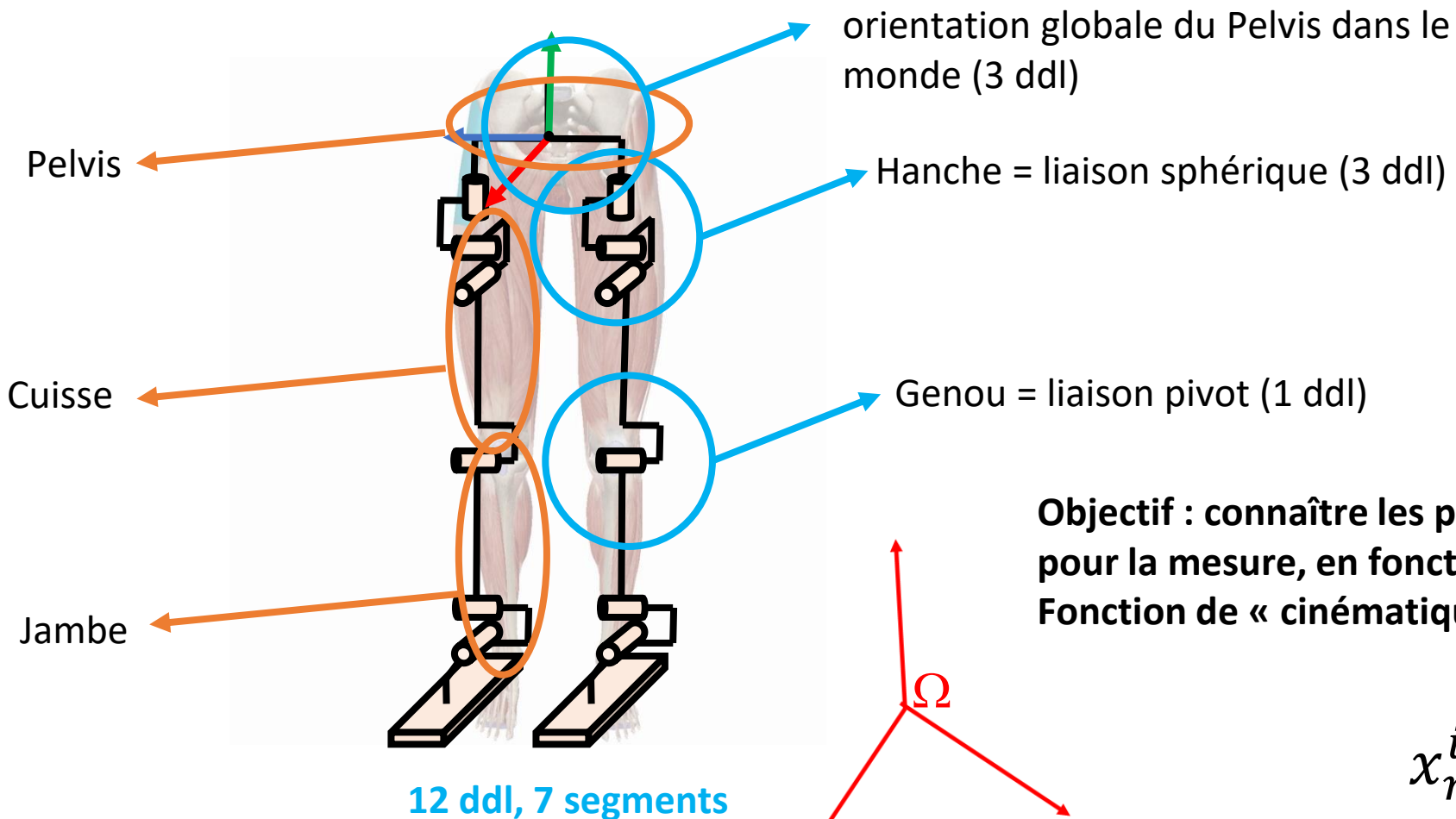
Oblige à combiner les transformations géométriques

**RAPPEL**

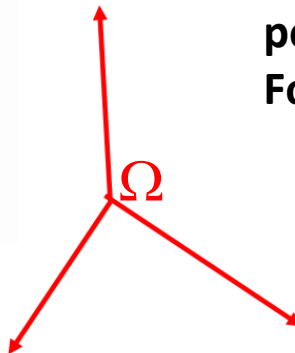




# Application : modélisation de la chaîne pelvienne

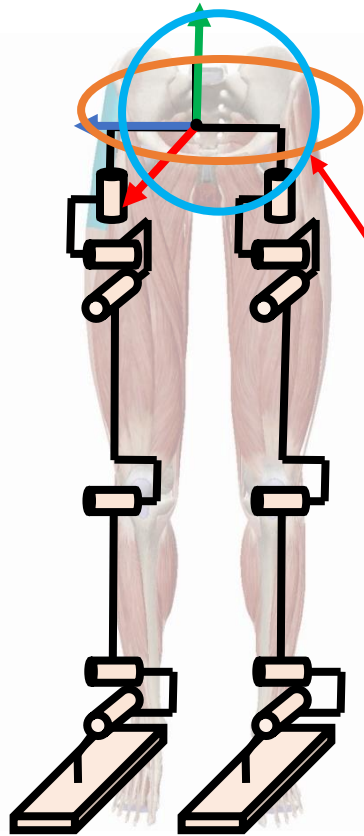


**Objectif : connaître les positions de tous les marqueurs  $i$  utilisés pour la mesure, en fonction des angles aux articulations  $q$**   
**Fonction de « cinématique directe » ou « géométrie directe »**



$$x_{mod}^i(q)$$

# Application : modélisation de la chaîne pelvienne



$$Z = rASIS - lASIS$$

$$Y = Z \times (0.5 * (lASIS + rASIS) - 0.5 * (lPSIS + rPSIS))$$

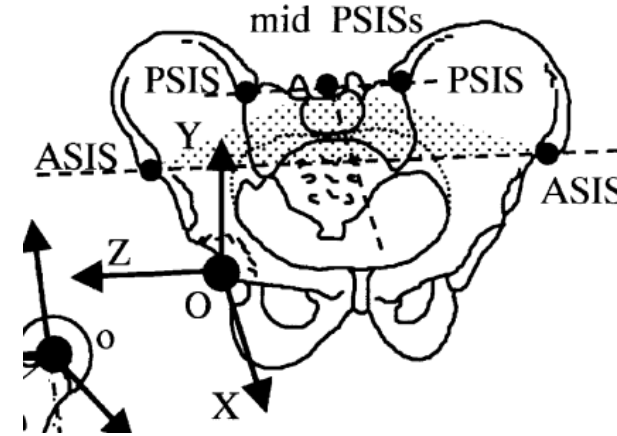
$$X = Y \times Z$$

Changement de repère : recommandation ISB « Y-Up »  
- position de « référence » (angles « 0 »)

$$M_{P0 \rightarrow \Omega} = (X \ Y \ Z)$$

Angles liés au mouvement  $\theta_x \ \theta_y \ \theta_z$ , dans l'ordre X,Y puis Z

$$M_{P \rightarrow P0} = \begin{pmatrix} 1 & 0 & 0 \\ 0 & \cos(\theta_x) & -\sin(\theta_x) \\ 0 & \sin(\theta_x) & \cos(\theta_x) \end{pmatrix} * \begin{pmatrix} \cos(\theta_y) & 0 & \sin(\theta_y) \\ 0 & 1 & 0 \\ -\sin(\theta_y) & 0 & \cos(\theta_y) \end{pmatrix} * \begin{pmatrix} \cos(\theta_z) & -\sin(\theta_z) & 0 \\ \sin(\theta_z) & \cos(\theta_z) & 0 \\ 0 & 0 & 1 \end{pmatrix}$$





# Prise en compte des Translations

Rotation 3x3

Matrices homogènes 4x4 pour intégrer les translations

$$\begin{pmatrix} a_{11} & a_{12} & a_{13} & tx \\ a_{21} & a_{22} & a_{23} & ty \\ a_{31} & a_{32} & a_{33} & tz \\ 0 & 0 & 0 & 1 \end{pmatrix}$$

Matrice de translation pure, dans le repère actuel

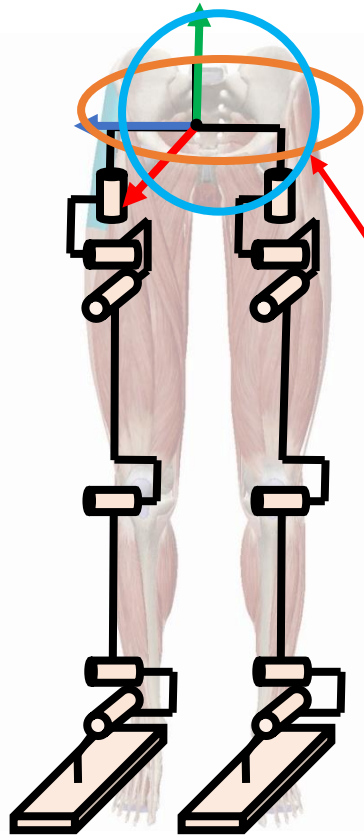
$$\begin{pmatrix} 1 & 0 & 0 & tx \\ 0 & 1 & 0 & ty \\ 0 & 0 & 0 & tz \\ 0 & 0 & 0 & 1 \end{pmatrix}$$

Pour les calculs, artificiellement ajouter un 1 en dernière ligne pour les vecteurs

$$\begin{pmatrix} 1 & 0 & 0 & tx \\ 0 & 1 & 0 & ty \\ 0 & 0 & 0 & tz \\ 0 & 0 & 0 & 1 \end{pmatrix} * \begin{pmatrix} X \\ Y \\ Z \\ 1 \end{pmatrix} = \begin{pmatrix} X + tx \\ Y + ty \\ Z + tz \\ 1 \end{pmatrix}$$

On peut maintenant combiner des rotations et des translations, par la multiplication des matrices homogènes

# Application : modélisation de la chaîne pelvienne



$$Z = rASIS - lASIS$$

$$Y = Z \times (0.5 * (lASIS + rASIS) - 0.5 * (lPSIS + rPSIS))$$

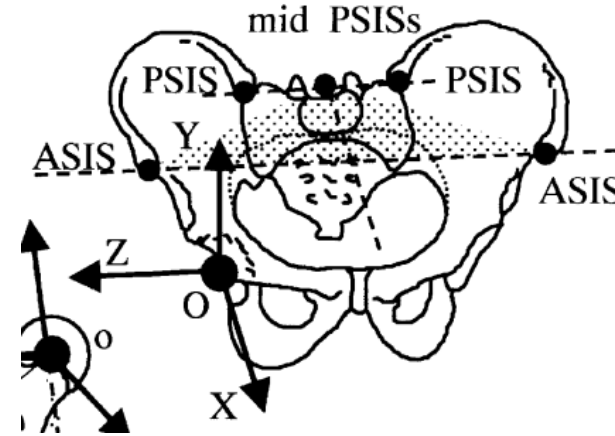
$$X = Y \times Z$$

Changement de repère : recommandation ISB « Y-Up »  
- position de « référence » (angles « 0 »)

$$M_{P0 \rightarrow \Omega} = (X \quad Y \quad Z)$$

devient

$$M_{P0 \rightarrow \Omega} = \begin{pmatrix} 1 & 0 & 0 & xlhip_{\Omega} \\ 0 & 1 & 0 & ylhip_{\Omega} \\ 0 & 0 & 1 & zlhip_{\Omega} \\ 0 & 0 & 0 & 1 \end{pmatrix} * \begin{pmatrix} X & Y & Z & 0 \\ X & Y & Z & 0 \\ X & Y & Z & 0 \\ 0 & 0 & 0 & 1 \end{pmatrix}$$



# Calcul des marqueurs du modèle

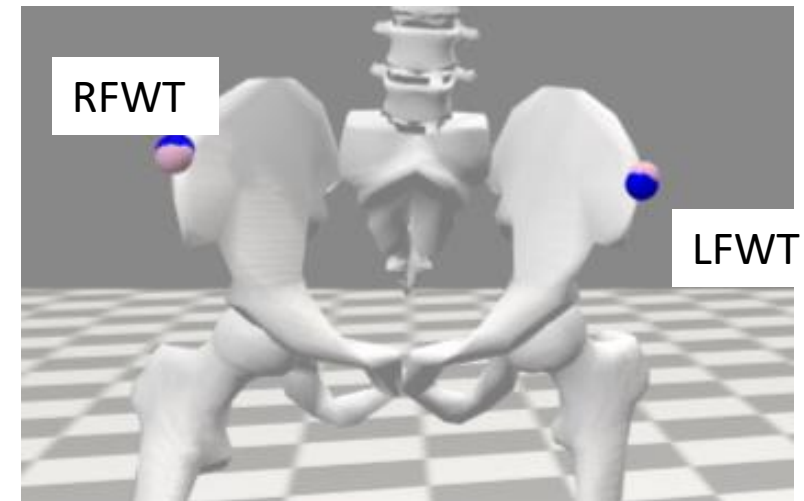
- Exprimer les marqueurs virtuels du modèle dans le repère u monde pour les comparer aux mesures dans ce même repère

$$RFT_{\Omega} = M_{P0 \rightarrow \Omega} * M_{P \rightarrow P0} * RFT_P$$

Position dans le repère global  
après mouvement du bassin

Données anthropométriques  
après mise à l'échelle

$$LFT_{\Omega} = M_{P0 \rightarrow \Omega} * M_{P \rightarrow P0} * LFT_P$$



# Application : modélisation de la chaîne pelvienne

$$Y = l_{hip} - 0.5 * (FE_e + FE_i)$$

$$X = Y \times (FE_e - FE_i)$$

$$Z = X \times Y$$

$$\longrightarrow M_{F0 \rightarrow \Omega}$$

En position de référence (angles « zéros » entre fémur et pelvis)

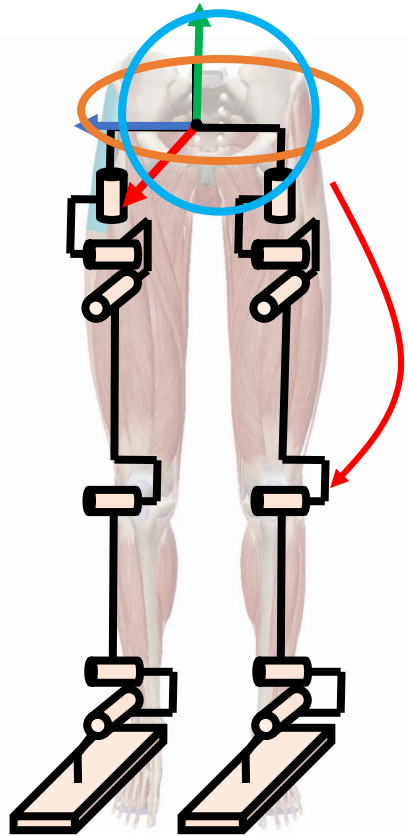
$$M_{F0 \rightarrow P} = M_{\Omega \rightarrow P} * M_{F0 \rightarrow \Omega} = M_{P \rightarrow \Omega}^T * M_{F0 \rightarrow \Omega}$$

Angles liés au mouvement  $\theta_z$   $\theta_y$   $\theta_x$ , dans l'ordre Z (flexion/ext), Y (int/ext) puis X (abd/add)

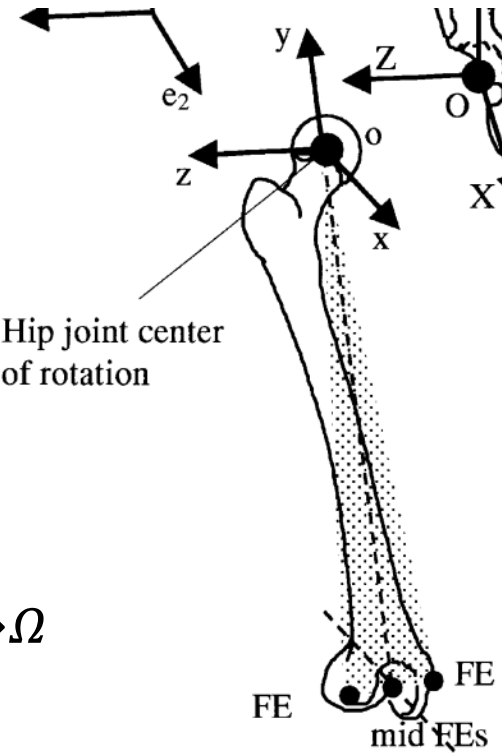
$$M_{F \rightarrow F0} = \begin{pmatrix} \cos(\theta_z) & -\sin(\theta_z) & 0 \\ \sin(\theta_z) & \cos(\theta_z) & 0 \\ 0 & 0 & 1 \end{pmatrix} * \begin{pmatrix} \cos(\theta_y) & 0 & \sin(\theta_y) \\ 0 & 1 & 0 \\ -\sin(\theta_y) & 0 & \cos(\theta_y) \end{pmatrix} * \begin{pmatrix} 1 & 0 & 0 \\ 0 & \cos(\theta_x) & -\sin(\theta_x) \\ 0 & \sin(\theta_x) & \cos(\theta_x) \end{pmatrix}$$

Translation vers le genou - attention à exprimer dans le repère du Fémur

$$Trans_{H \rightarrow K} = M_{F0 \rightarrow \Omega}^T * \begin{pmatrix} 1 & 0 & 0 & x_{lknee_{\Omega}} - x_{lhip_{\Omega}} \\ 0 & 1 & 0 & y_{lknee_{\Omega}} - y_{lhip_{\Omega}} \\ 0 & 0 & 1 & z_{lknee_{\Omega}} - z_{lhip_{\Omega}} \\ 0 & 0 & 0 & 1 \end{pmatrix}$$

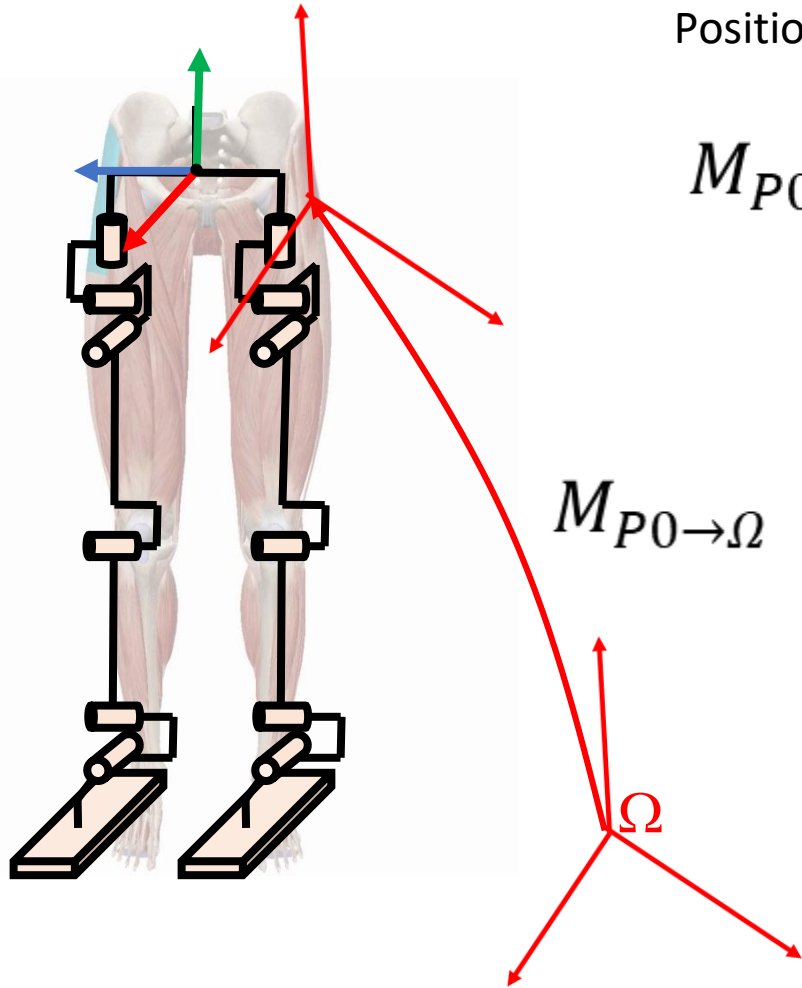


Hip joint center of rotation

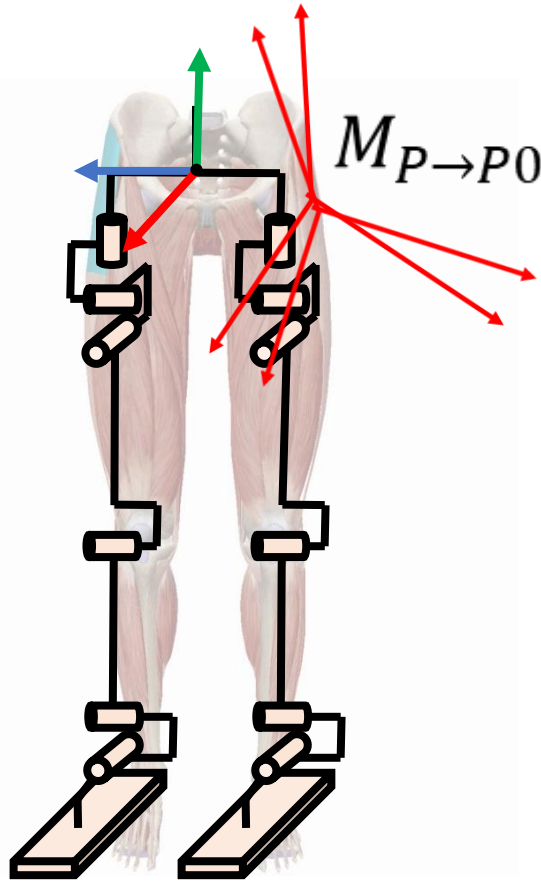


# Application : modélisation de la chaîne pelvienne

Position du genou dans le repère du monde en fonction des angles aux articulations



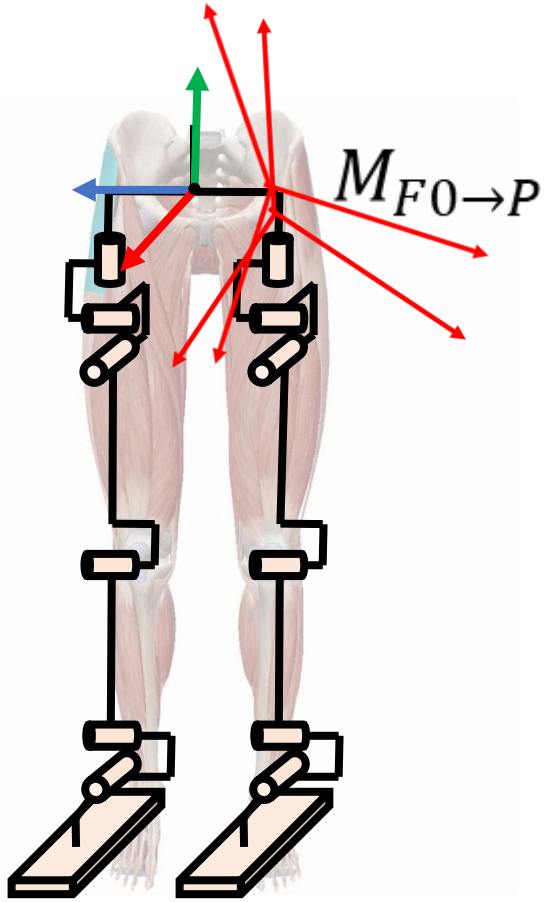
# Application : modélisation de la chaîne pelvienne



Position du genou dans le repère du monde en fonction des angles aux articulations

$$M_{P0 \rightarrow \Omega} * M_{P \rightarrow P0}$$

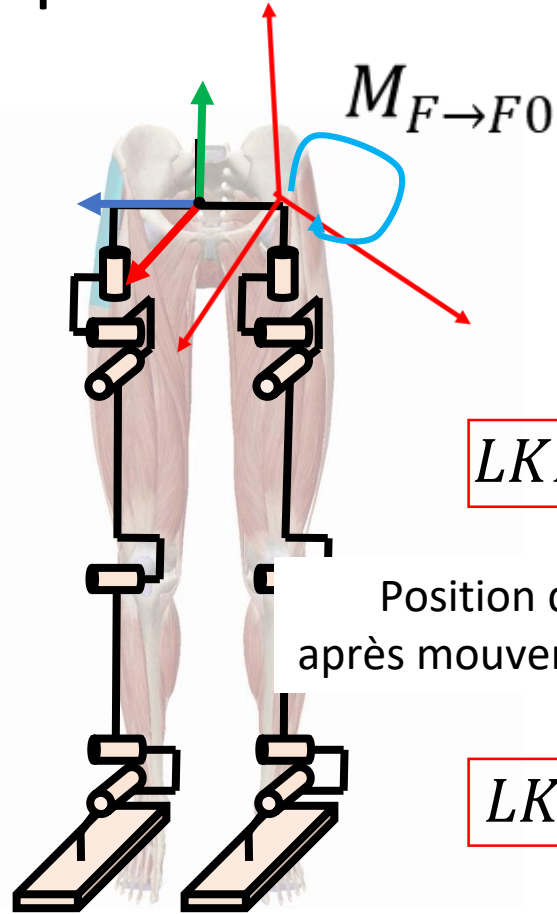
# Application : modélisation de la chaîne pelvienne



Position du genou dans le repère du monde en fonction des angles aux articulations

$$M_{P0 \rightarrow \Omega} * M_{P \rightarrow P0} * M_{F0 \rightarrow P}$$

# Application : modélisation de la chaîne pelvienne



Position du genou dans le repère du monde en fonction des angles aux articulations

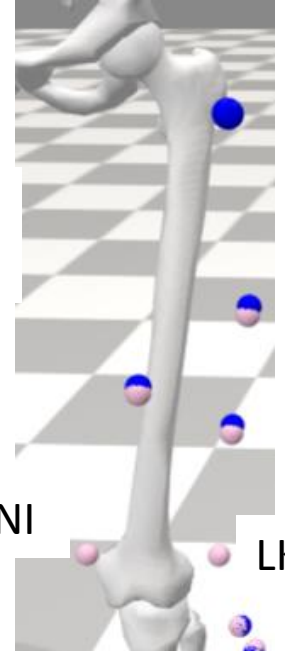
$$M_{P0 \rightarrow \Omega} * M_{P \rightarrow P0} * M_{F0 \rightarrow P} * M_{F \rightarrow F0}$$

$$LKNE_{\Omega} = M_{P0 \rightarrow \Omega} * M_{P \rightarrow P0} * M_{F0 \rightarrow P} * M_{F \rightarrow F0} * LKNE_P$$

Position dans le repère global  
après mouvement du bassin + hanche

Données anthropométriques  
après mise à l'échelle

$$LKNI_{\Omega} = M_{P0 \rightarrow \Omega} * M_{P \rightarrow P0} * M_{F0 \rightarrow P} * M_{F \rightarrow F0} * LKNI_P$$



LKNI

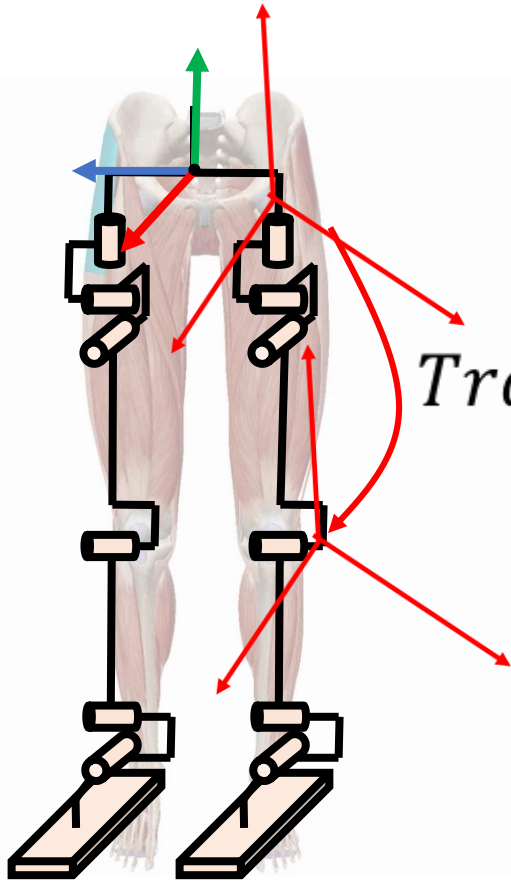
LKNE



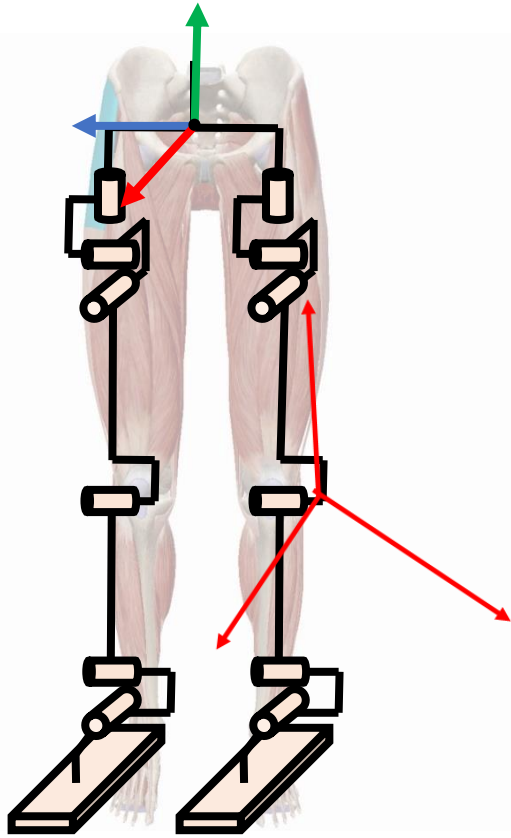
# Application : modélisation de la chaîne pelvienne

Position du genou dans le repère du monde en fonction des angles aux articulations

$$M_{P0 \rightarrow \Omega} * M_{P \rightarrow P0} * M_{F0 \rightarrow P} * M_{F \rightarrow F0} * Trans_{H \rightarrow K}$$



# Application : modélisation de la chaîne pelvienne



Position du genou dans le repère du monde en fonction des angles aux articulations

$$M_{P0 \rightarrow \Omega} * M_{P \rightarrow P0} * M_{F0 \rightarrow P} * M_{F \rightarrow F0} * Trans_{H \rightarrow K}$$

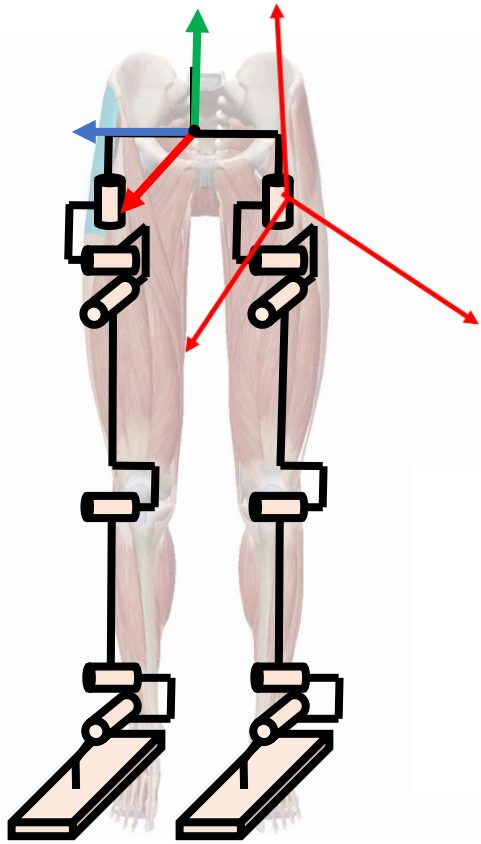
$$M_{K \rightarrow \Omega}$$

$$M_{K \rightarrow \Omega} * K_K = K_{\Omega}$$

$$M_{K \rightarrow \Omega} * \begin{pmatrix} 0 \\ 0 \\ 0 \\ 1 \end{pmatrix} = K_{\Omega}$$

# Application : modélisation de la chaîne pelvienne

Position du genou dans le repère du monde en fonction des angles aux articulations



$$M_{P0 \rightarrow \Omega} * M_{P \rightarrow P0} * M_{F0 \rightarrow P} * M_{F \rightarrow F0}$$

$$M_{F \rightarrow \Omega}$$

$$M_{F \rightarrow \Omega} * K_F = K_{\Omega}$$

$$M_{F \rightarrow \Omega} * \begin{pmatrix} xK_F \\ yK_F \\ zK_F \\ 1 \end{pmatrix} = K_{\Omega}$$

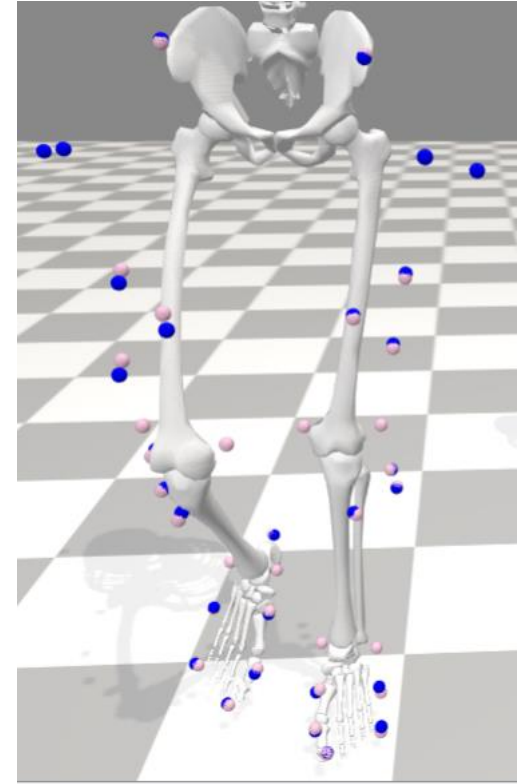


# Cinématique inverse

- Chercher les degrés de liberté  $q$  qui alignent le mieux les marqueurs  $i$  du modèle  $x_{mod}^i$  par rapport aux données expérimentales  $x_{exp}^i$
- $x_{mod}^i$  dépend du modèle et des degrés de liberté  $q$   $x_{mod}^i(q)$

$$\min_q \left[ \sum_{i=1}^m w_i \|x_{exp}^i - x_{mod}^i(q)\|^2 \right]$$

- $w_i$  poids associé à chaque marqueur – confiance
- Erreur résiduelle!!



Frame (t)	total squared error	marker error: RMS	marker error: max	marker error: q (mm)
Frame 94 (t = 1.567):	total squared error = 0.0136722,	marker error: RMS = 0.0210009,	max = 0.0787661 (R.Acromium)	
Frame 95 (t = 1.583):	total squared error = 0.0136273,	marker error: RMS = 0.0209664,	max = 0.0791243 (R.Acromium)	
Frame 96 (t = 1.6):	total squared error = 0.0135755,	marker error: RMS = 0.0209265,	max = 0.079239 (R.Acromium)	

# Conclusion

- Cinématique : décrire un geste observé
  - Simplification par un modèle (complexité, nature des articulations, calibrage anthropométrique, repères associés, modèles d'articulation...)
  - Données comparables d'un sujet à l'autre, d'un essai à l'autre, d'une publication à l'autre (ISB)
  - Plaquer le modèle dans les données
    - Mise en correspondance des matrices symboliques du modèle aux matrices de mesure
    - Calcul et inversion d'une fonction de cinématique/géométrie directe + optimisation
- Limites
  - Pas de prise en compte des masses, ni des forces externes
  - Description mais pas d'explication des causes ➔ forces et couples articulaires internes

# A vous

- Quels exemples d'analyse ?
- Quels modèles ?
- Quelle granularité ?